УСПЕХИ ФИЗИЧЕСКИХ НАУК

539.12.01

ОКТЕТНАЯ МОДЕЛЬ ЭЛЕМЕНТАРНЫХ ЧАСТИЦ*)

Дж. де Сварт

§ 1. ВВЕДЕНИЕ

Попытки понять структуру спльных взаимодействий привели к препложению нескольких схем высшей симметрии **). Эти высшие симметрии должны содержать сохранение изоспина I и гиперзаряда Y. Особенно интереспо в этом отношении октетпая модель (упитарная симметрия), предложенная независимо Гелл-Маппом и Нееманом. В этой модели предполагается, что наиболее сильные взаимодействия инвариантны относительно преобразований, принадлежащих к группе SU(3), т. е. относительно, унимодулярных упитарных преобразований в пекотором трехмерном комплексном линенном векторном пространстве («пространство унитарного спина»). Симметрия этих сильных взаимодействий нарушается пекоторым цеизвестным более слабым взацмодействием, по так, что изоснии и гиперзаряд по-прежнему сохраняются. Еще более слабое взаимодействие — электромагнитное — нарушает и эту более низкую симметрию так, что сохраняется только гиперзаряд и трегья компонента изоспина. В модели унитарной симметрии группы сильно взаимодействующих частии с одлими и теми же квантовыми числами (неодинаковыми квантовыми числами являются при этом $I,\ Y,\ I_3$ и непосредственно связанные с инми странность, заряд G, четность и др.) относят к неприводимым представлениям (ИИ) группы SU(3). В октетной модели низшим нетривиальным ИП физически возможным (т. с. имеющим целые квантовые числа для гиперзаряда) является $\Pi\Pi$ {8}. Восемь хорошо известных барионов N, Λ , Σ и Ξ , а также восемь псевдоскалярных мезонов K, η , π и \overline{K} приписываются НП $\{8\}$. Кроме того, предполагается существование восьми векторных мезонов, которые относятся к такому же представлению. По всей вероятности мезоны ϱ , ω , K^* и \overline{K}^* составляют этот октет ***). Здесь существует трудность, состоящая в том, какой из двух мезонов К* включить в октет. По-видимому, наблюдается два $(K\pi)$ -резопанса: один 5 при 730 $M_{\partial\theta}$ и другой ****) при 888 $M_{\partial\theta}$. Предпочитают резонанс 888 $M_{\partial\theta}$, так как он скорее обладает правильными квантовыми числами. Следующее, более высокое НП может содержать 10 частиц. Было предположено 7, что известный (3,3) пион-нуклонный резонанс. резонанс Y_1^* (1385 $M_{2\theta}$, $I=\frac{1}{2}$) 8,9, недавно открытый ($\Xi\pi$)-резонанс при 1532 $M_{2\theta}$ и пока неизвестный барион Ω^{-} (1685 M_{26} , Y=-2, I=0) принадлежит к этому НП 10 . Открытие этой Ω^{-} -частицы означало бы большой триумф октетной модели *****). Окубо 10 вывел формулу для масс различных частиц, принадлежащих к одному и тому же НП. Для октетов (НП {8}) эта формула сводится к соотношению между массами различных частиц, входящих в данный октет. Это соотношение между массами очень хорошо удовлетворяется для барионов и псевдоскалярных мезонов. Однако для векторных мезонов это соотношение не выполняется им для $(K\pi)$ -резонанса 888 $M_{2\theta}$, ин для резонанса 730 $M_{2\theta}$. Для НП $\{10\}$ массовая формула опять очень хорошо удовлет-

^{*)} J. J. de Swart. The Octet Model and its Clebsh — Gordan Coefficients, Rev. Mod. Phys. 35, 916 (1963). Перевод В. Б. Берестецкого и О. А. Владимировой. **) Очень хороший обзор различных схем высших симметрий сильных взаимодействий дан в статье ¹. В ней читатель найдет библиографию общирной литературы

^{***)} Более естественно считать, что октет образует мезоны ϱ , φ , K^* и \overline{K}^* ; см. конец раздела 16. (Прим. перев.)

^{****)} Более подробную библиографию см. 6, стр. 781.
****) Барион Ω^- экспериментально обнаружен (V. Е. В a r n e s и др., Phys. Rev. Letts. 12, 204 (1964)). Спин его пока пе установлен. (Прим. персе.)

воряется. Коулмен и Глэшоу ¹¹ получили соотношение, содержащее электромагнитные разности масс внутри барионного октета. Это соотношение также удовлетворяется разности масс внутри оарионного октета. Это соотношение также удовлетворяется очень хорошо. Главная задача этой статьи — получить коэффициенты Клебша — Гордана *) (КГ-коэффициенты) группы SU(3) для произведений наиболее важных неприводимых представлений (§ 10, 11 и 18). Особое внимание уделено определению всех существенных фазовых множителей (§ 7, 10). Получены некоторые полезные соотношения симметрии для КГ-коэффициентов (§ 14). Формулируется теорема Вигнера — Эккарта ¹⁴ для этой группы (§ 15), которая примепяется для вывода общей формулы масс для октетов (§ 16). Частный случай этой формулы дает соотношение масс Гелл-Манна — Окубо (16,3). Другой частный случай приводит к соотношению (16 15) которое очень хорошо удовлетворяется для векторых мезоров. к соотношению (16,15), которое очень хорошо удовлетворяется для векторных мезонов, если включить в соответствующий октет в качестве $K^*(K\pi)$ -резонанс 730 $M_{\partial\theta}$. Для полноты картины, а также для того, чтобы продемонстрировать применение некоторых частных выборов фаз, мы рассмотрим в § 17 взаимодействие Юкавы между барионами и мезонами. Для того чтобы иметь возможность ясно показать, как получены результаты последних разделов, оказались необходимыми дополнительные разделы, в которых определяются различные понятия и величины, используемые в дальнейшем. Это приводит нас к другой цели этой статьи. Для понимания математической структуры этой специальной модели сильных взаимодействий требуется лишь небольшое расширение этих разделов и несколько дополнений к пим, что и сделано в этой статье. Изложение вопроса является «физическим» **), насколько это возможно. Автор пытается не пользоваться слишком много результатами, полученными чисто абстрактными методами теории групп. Однако в тех случаях, когда результаты можно легко получить (насколько автору известно) телько этими методами, они используются. Хорошим примером является § 12, в котором изложен без доказательств изящный и простой метод Шпайзера ¹⁵ для приведения прямого произведения двух неприводимых представлений.

§ 2. ТЕНЗОРЫ 16

Группа SU(3) содержит все унитарные унимодулярные преобразования в трехмерном векторном пространстве комплексных чисел C_3 . Обозначим вектор в этом пространстве через x^i , а его комплексно-сопряженный — через x_i , так что $x_i = (x^i)^*$. Преобразование группы превращает векторы x^i и x_i в векторы x^i и x_i согласно следующим формулам ***):

$$\overline{x^i} = a_{ij}x^i, \tag{2.1a}$$

$$\widetilde{x_j} = a_{ij}^* x_j = a_{ji}^{-1} x_j.$$
(2.16)

Вследствие унитарности преобразования коэффициенты α удовлетворяют соотношениям ****)

$$\alpha^+ = \alpha^{-1}$$
 или $\alpha_{ij}^* = \alpha_{ji}^{-1}$.

В векторпом пространстве C_3 мы можем определить смешанные тензоры $A_{ij\dots h}^{\alpha\beta\dots\gamma}$, которые преобразуются следующим образом:

$$\overline{A}_{ij\ldots k}^{\alpha\beta\ldots\gamma} = \alpha_{\alpha\lambda}\alpha_{\beta\mu}\ldots\alpha_{\gamma\nu}\alpha_{ii}^{-1}\alpha_{mj}^{-1}\ldots\alpha_{nk}^{-1}A_{lm\ldots n}^{\lambda\mu\ldots\nu}.$$
 (2.2)

Существуют особые тензоры $\delta^i_i,\, \epsilon^{ijh}\,$ и $\epsilon_{ijh}.$ Они не меняются при преобразовании группы. Мы имеем

$$\bar{\delta}_{j}^{i} = \alpha_{ik}\alpha_{lj}^{-1}\delta_{l}^{k} = \alpha_{ik}\alpha_{kj}^{-1} = \delta_{j}^{i}$$

*) Таблицы КГ-коэффициентов можно найти в ряде других статей (например, 12 и 13). При пользовании этими таблицами в комбинаций с некоторыми теоремами этой статьи нужно проявлять осторожность, так как в этих КГ-коэффициентах

мами от выбор фазовых мпожителей, а в большинстве случаев их выбор не указан.

**) Термин «физически» в данном контексте означает: «при помощи методов, известных большинству физиков, предполагая некоторое знакомство с теорией момента количества движения». Если в некоторых местах в последующих разделах читатель заметит слишком большие для себя скачки в логической последовательности, ему следует сравнить их с аналогичной ситуацией в теории момента, и тогда даниый пункт почти всегда прояснится (по країней мере, таков паш опыт).

***) Мы будем пользоваться эйнштейповским условием суммирования.

****) α * означает эрмитовски-сопряженное к α , α ^T — транспонированное, α * — ком-

плексно-сопряженное.

И

$$\bar{\epsilon}^{ijk} = \alpha_{ij}\alpha_{im}\alpha_{kn}\epsilon^{lmn} = \det \alpha\epsilon^{ijk} = \epsilon^{ijk}$$

вследствие ограничения унимодулярными преобразованиями (det lpha=1).

Одночлены
$$M$$
 (p, q)

$$x^{\alpha}y^{\beta}\dots z^{\gamma}u_{i}v_{i}\dots w_{k}$$

с p верхними и q нижними индексами при преобразовании группы преобразуются друг через друга. Поэтому удобно выбрать эти многочлены в качестве базиса для построения представлений группы. Эти представления в общем случае будут приводимыми, как будет показано ниже, вследствие существования тензоров δ^i_j , ε^{ijk} и ε_{ijk} . При помощи этих тензоров мы можем составить из смешанного тензора $A^{\alpha\beta,...\delta}_{ij...l}$

с p верхними и q нижними индексами в общем случае смешанные тензоры B, C и D.

$$B_{j\ldots l}^{\beta\ldots\delta} = \delta_{\alpha}^{i} A_{ij\ldots l}^{\alpha\beta\ldots\delta}$$

представляет собой тензор с (ho-1) верхними и (q-1) ниживми индексами,

$$C_{\mu ij...l}^{\gamma...\delta} = \varepsilon_{\mu\alpha\beta} A_{ij...l}^{\alpha\beta\gamma...\delta}$$

— тензор с (p-2) верхними и (q+1) нижними индексами, а

$$D_{k...l}^{m\alpha\beta...\delta} = \varepsilon^{mij} A_{i,k...l}^{\alpha\beta...\delta}$$

— тензор, у которого (p+1) верхний, (q-2) нижний индексы. Тензоры $B,\ C$ и Dявляются липейными комбинациями тензора A с p верхними и q нижими индексами. Однако по свойствам преобразования B, C и D отличаются от тензора с p верхними и q нижними индексами. Поэтому тензор A является приводимым, если B, C и D не обращаются тождественно в нуль.

Мы видим, что B=0, если $A_{ij...k}^{i\beta...\gamma}=0$, т. е. если след тензора A по отношению к индексам α и i равен нулю; C=0, если A симметрично по отношению индексов

а и β , и D=0, если A симметричен по отношению к индексам i и i.

Теперь ясно, как построить базисы для неприводимых представлений SU(3).

Возьмем линейные комбинации $P\left(p,\,q\right)$ одночленов $M\left(p,\,q\right)$ так, чтобы полиномы $P\left(p,\ q
ight)$ были:
 1) полностью симметричны отпосительно всех p верхних индексов;

- 2) полностью симметричны относительно всех q нижних индексов;

2) полностью симметричны относительно всех q нажила лиденева, 3) со следом, равным нулю *). Эти полиномы $P_{ij}^{\alpha}, \beta, \cdots \gamma$ образуют базис для неприводимого представления (НП) D(p, q) группы SU(3). Размерность N представления D(p, q), т. е. число базисных векторов равно

$$N = (1 + p) (1 + q) \left[1 + \frac{1}{2} (p - q) \right]. \tag{2.3}$$

Доказательство. Тепзор, имеющий только верхние индексы и симметричный по этим p индексам, имеет $\frac{1}{2}$ (p+1)(p+1) линейно независимых компонент.

Это можно видеть следующим образом. В силу требования симметрии порядок индексов не существен. Поэтому мы можем расположить ипдексы так, чтобы первыми были все единицы, затем все двойки и, накопец, все тройки. Предположим, что мы имеем одинила, от высовые двинице, причем а может пробегать значения от нуля до p; тогда при данном а для двоек и троек остается ($p-\alpha$) индексов. Мы можем поэтому составить ($p-\alpha$ -1) разных комбинаций, в которых а индексов, а остальные двойки п тройки. Всего различных компонент будет

$$\sum_{\alpha=0}^{p} (p-\alpha+1) = \frac{1}{2} (p+1) (p+2).$$

Tензор, имеющий только нижние индексы и симметричный по этим q индексам, имеет $rac{1}{2}$ (q+1) (q+2) линейно независимых компонент. Смешанный тензор, полностью

В силу симметрии, требуемой условиями 1) и 2), каждый полином имеет только один след. Под следом мы понимаем свертывание только по одному верхнему п одному пижнему пидексам, а не свертывание по двум верхним или двум нижним индексам.

симметричный относительно p верхних и q нижних индексов, гмест поэтому $N_4=rac{1}{4}\ (p+1)\,(p-2)\,(q+1)\,(q-2)$ линейно независимых компонент. Требование того, чтобы след обращался в нуль, дает дальнейшие ограничения. След представляет собой смешанный тензор с (p-1) верхними и (q-1) нижними индексами. След сме-

Все эти компопенты должны тождественно обращаться в нуль. Таким образом, тензор,

симметричный отпосительно верхиих и пижиих ипдексов, с равным нулю следом, имеет $N-N_1-N_2$ независимых компонент, что и требовалось доказать. Можно обозначать данное 1111 как $\{N\}$, т. е. D (1,1) – $\{8\}$, D (2,2) = $\{27\}$, D (3,0) = $\{10\}$ и т. д. Если более чем одно HII имеет одинаковую размерность, то мы можем различать их при помощи звездочек, штрихов и т. д. Например, D (p, q) и D (q, p) (p > q) имеют одинаковую размерность. Мы будем обозначать D (p, q) = $\{N\}$

§ 3. ГЕНЕРАТОРЫ ГРУППЫ

В разделе 2 мы показали, что подходящий базис для IIII D (p,q) группы SU (3) образуют N полиномов P (p,q). Эти полиномы образуют линейное векторное пространство V_N . Преобразованию группы SU (3), определяемому матрицей α в пространстве C_3 , соответствует преобразование U в пространстве V_N . Эти преобразования U и образуют IIII D (p,q) группы SU (3); они являются унитарными *) $(U^+ = U^{-1})$ и унимодулярными **) (det U = 1).

Каждое унитарное преобразование U может быть записано в виде

$$U = e^{iH}, (3,1)$$

где H — эрмитово, H — H^{\star} . Справедливо и обратное: для каждого эрмитова оператора H матрица U, определенная по формуле ($ilde{3},1$), является унитарной. Требование унимодулярности означает

$$Tr H = 0. (3.2)$$

Здесь также справедливо и обратное. Из (3,2) следует, что матрица U, определенная

согласно (3,1), унимодулярна.

Преобразование α в пространстве C_3 мы можем также записать в форме (3,1) с условием (3,2). В трехмерном пространстве существуют девять линейно-пезависимых эрмитовых операторов, по только восемь из них имеют пулевой след. Этим восьми операторам в C_3 (генераторы группы) соответствуют восемь эрмитовых операторов с нулевым следом F_i в пространстве V_N . Мы можем написать поэтому

$$H = \sum_{i=1}^{s} \alpha_i F_i, \tag{3.3}$$

где $F_i=F_i^{\dagger}$, ${\rm Tr} F_i=0$ и a_i действительны. Для получения соотношения коммутации для F_i более удобно записать (3,3) несколько иначе. Введем совокупность девяти операторов ***) с нулевым следом A_h^i , которые определяются так, что их представление в пространстве C_3 имеет следующий вид:

$$(A_k^i)_{\mu\nu} = \delta_{i\nu}\delta_{k\mu} - \frac{1}{3}\delta_{ik}\delta_{\mu\nu} \tag{3,4}$$

 $(i, k, \mu, \nu = 1, 2$ или 3). Эти операторы удовлетворяют условию

$$A_h^i = \left(A_i^h\right)^{\perp} \tag{3.5}$$

Они не являются полностью независимыми, а связаны соотношением

$$A_1^1 + A_2^2 - A_3^3 = 0. (3.6)$$

^{*)} Мы можем всегда выбрать так, чтобы матрицы былп унитарными; см., напри-

мер, 17.

**) Представления должны быть унимодулярными, так как в противном случае

** противном случае бы инвариантную подгруппу. Так как группа унимодулярные матрицы образовывали бы инвариантную подгруппу. Так как группа SU (3) не имеет инвариантной подгруппы, то представления унимодулярны.

^{***)} Эти операторы A_h^i отличаются от операторов, введенных Окубо в работе 10 , общим знаком минус.

Теперь мы можем выразить (3,3) через операторы A_h^i ; мы получим

$$H = \sum \beta_i^h A_h^i, \tag{3.7}$$

причем эрмитовость H требует

$$\beta_h^i = (\beta_i^h)^*. \tag{3.8}$$

Легко видеть, что эти матрицы A_k^i удовлетворяют соотношениям коммутации

$$\begin{bmatrix} A_k^i, & A_l^j \end{bmatrix} = \delta_l^i A_k^j - \delta_k^j A_l^i. \tag{3.9}$$

Этим девяти операторам в пространстве C_3 соответствуют девять операторов в каждом из пространств V_N , которые удовлетворяют соотношениям (3,5)—(3,9). При этом они, конечно, не являются матрицами 3×3 , а матрицами $N\times N$.

Мы введем еще другие обозначения для генераторов группы, которыми будем пользоваться повсюду дальше в этой статье. При помощи этих новых обозначений легко получить соотношение между операторами F_i (обозначения Гелл-Манна 3) и операторами A_b^i (обозначения Окубо 10). Мы обозначим

значения Окубо ¹⁰). Мы обозначим
$$F_{4} = I_{1}. F_{4} - K_{1}, F_{6} = L_{1}, F_{8} = M,$$

$$F_{2} = I_{2}, F_{5} = K_{2}, F_{7} = L_{2},$$

$$F_{3} = I_{3}.$$
(3,10)

Далее мы можем образовать операторы

$$I_{\pm} = I_1 \pm iI_2, K_{\pm} = K_1 \pm iK_2, L_{+} = L_1 \pm iL_2.$$
(3,11)

Операторы A_k^i можно теперь выразить через эти операторы:

$$A_{1}^{1} = I_{3} + \frac{1}{3} \sqrt{3}M, \ A_{1}^{2} = I_{+}, \ A_{2}^{1} = I_{-},$$

$$A_{2}^{2} = -I_{3} + \frac{1}{3} \sqrt{3}M, \ A_{1}^{3} = K_{+}, \ A_{3}^{1} = K_{-},$$

$$A_{3}^{3} = -\frac{2}{3} \sqrt{3}M, \ A_{2}^{3} = L_{+}, \ A_{3}^{2} = L_{-}.$$

$$(3,12)$$

Для полноты мы приведем также соотношения между нашей совокупностью генераторов и совокупностью, которой пользовались Беренус и др. 1:

$$H_{1} = \left(\frac{1}{\sqrt{3}}\right) I_{3}, \quad E_{1} = \left(\frac{1}{\sqrt{3}}\right) I_{+}, \quad E_{-1} = \left(\frac{1}{\sqrt{3}}\right) I_{-},$$

$$H_{2} = \left(\frac{1}{\sqrt{3}}\right) M, \quad E_{2} = \left(\frac{1}{\sqrt{3}}\right) K_{+}, \quad E_{-2} = \left(\frac{1}{\sqrt{3}}\right) K_{-},$$

$$E_{3} = \left(\frac{1}{\sqrt{3}}\right) L_{+}, \quad E_{-3} = \left(\frac{1}{\sqrt{3}}\right) L_{-}.$$
(3,13)

§ 4. СООТПОШЕНИЯ КОММУТАЦИИ

Из соотношения коммутации (3,9) мы видим, что I_3 и M являются коммутирующими операторами. Так как ранг группы равен двум, то не существует других линейных операторов, коммутирующих с этими двумя. Мы объединим их в один вектор ${f E}=(I_3,\ M).$ Соотношения коммутации могут быть записаны в следующем виде:

$$\begin{array}{l} [{\bf E},\ I_{\pm}] = \pm \ {\bf i} I_{\pm}, \\ [{\bf E},\ K_{\pm}] = \pm \ {\bf k} K_{\pm}, \\ [{\bf E},\ L_{\pm}] = \pm \ {\bf l} L_{\pm}, \end{array} \right)$$

$$\begin{bmatrix}
I_{+}, I_{-} = 2iE, \\
[K_{+}, K_{-}] = 2kE, \\
[L_{+}, L_{-}] = 21E,
\end{bmatrix} (4.16)$$

где i, k и l — единичные векторы, определяемые следующим образом:

$$i=(1, 0), k=\left(\frac{1}{2}, \frac{1}{2}V\overline{3}\right), l=\left(-\frac{1}{2}, \frac{1}{2}V\overline{3}\right).$$

Другие перестановочные соотношения, менее симметричные по форме, таковы:

$$\begin{aligned} & [I_{-}, K_{+}] = L_{+}, [K_{-}, I_{+}] = L_{-}, \\ & [I_{+}, L_{+}] = K_{+}, [L_{-}, I_{-}] = K_{-}, \\ & [K_{+}, L_{-}] = I_{+}, [L_{+}, K_{-}] = I_{-} \end{aligned}$$
 (4.1B)

и остальные коммутаторы равны нулю.

Мы введем следующие операторы *):

$$P_i = e^{i\pi I_2}, \ P_k = e^{i\pi K_2}, \ P_l = e^{i\pi L_2}.$$
 (4.2)

Тогда

Эти соотношения легко доказать следующим образом:

$$\begin{split} P_{k}^{-1}I_{\pm}P_{k} &= I_{\pm} + i\pi \left[I_{\pm}, K_{2}\right] + \left(\frac{(i\pi)^{2}}{2!}\right) \left[\left[I_{\pm}, K_{2}\right], K_{2}\right] + \ldots = \\ &= I_{\pm} \cos \frac{1}{2} \pi + L_{\mp} \sin \frac{1}{2} \pi = L_{\mp}, \end{split}$$

и аналогично для других соотношений. Из соотношений (4,3) непосредственно следует, что

$$\begin{array}{cccc}
P_{i}^{-1}P_{k}P_{i} = P_{l}, & P_{i}^{-1}P_{l}P_{i} = P_{k}^{-1}, \\
P_{k}^{-1}P_{i}P_{k} = P_{l}^{-1}, & P_{k}^{-1}P_{l}P_{k} = P_{i}, \\
P_{l}^{-1}P_{i}P_{l} = P_{k}, & P_{l}^{-1}P_{k}P_{l} = P_{i}^{-1}.
\end{array} \right} (4.4)$$

Кроме того, мы имеем соотпошения

$$P_{i}^{-1}EP_{i} = E-2i (iE), P_{h}^{-1}EP_{h} = E-2k (kE), P_{l}^{-1}EP_{l} = E-2l (lE).$$
(4,5)

Соотношения (4,5) легко доказать следующим образом:

$$\begin{aligned} P_h^{-1} \mathbf{E} P_h &= \mathbf{E} + i\pi \left[\mathbf{E}, \ K_2 \right] + \left(\frac{(i\pi)^2}{2!} \right) \left[\left[\mathbf{E}, \ K_2 \right], \ K_2 \right] + \dots, \\ &= \mathbf{E} + \mathbf{k} \ (\mathbf{k} \mathbf{E}) \ (\cos \pi - 1) + \mathbf{k} K_1 \sin \pi, \ = \mathbf{E} - 2\mathbf{k} \ (\mathbf{k} \mathbf{E}). \end{aligned}$$

§ 5. ПОЛНЫЙ НАБОР КОММУТИРУЮЩИХ ОПЕРАТОРОВ

Для того чтобы систематизировать собственные состояния, удобно индицировать их собственными значениями полного набора коммутирующих линейно независимых операторов. Набор, состоящий из I_3 и M, можно расширить, добавив $I^2=I_1^2+I_2^2+I_3^2$ и еще два оператора F^2 и G^3 , называемых операторами Казимира 20,21 . Последние определяются следующим образом 10 :

$$F^{2} = \frac{1}{2} \sum_{\mu\nu} A^{\nu}_{\mu} A^{\mu}_{\nu} = \sum_{i=1}^{8} F_{i}^{2},$$

$$G^{3} = \sum_{\mu\nu\lambda} A^{\nu}_{\mu} A^{\lambda}_{\nu} A^{\mu}_{\lambda}.$$

^{*)} Эти операторы широко применялись в работах ¹⁸; см. также ¹⁹.

Операторы F^2 и G^3 имеют то свойство, что они коммутируют с каждым из операторов F_i . Согласно лемме Шура *) эти операторы являются константами для данного неприво-димого представления. Поэтому неприводимые представления удобно индицировать собственными значениями этих операторов f^2 и g^3 . Конечно, совокупность (p, q) эквисооственными значениями этих операторов f^2 и g^2 . Повечно, совохупность (p,q) эквивалентна совокупности (t^2,g^3) . Состояния внутри данного НП можно индицировать собственными T (T $^{\perp}$ 1), T_z и m операторов I^2 , I_3 и M. Для собственных значений оператора $E = (I_3,M)$ мы также будем использовать векторное обозначение $e = (T_z,m)$. Мы будем обозначать собственные состояния оператора E, принадлежащие к собственному значению e, через $|e, \gamma\rangle$. Символ γ описывает остальные квантовые числа. Для данного НП мы можем определить также высшее собственное значение e_H и высшее собственное состояние $|p,q,T,e_H,\gamma\rangle$. Высшим собственным значением называется такое значение e, которому отвечает наибольшее T_z в данном НП. Высшим собственным состоянием называется то, которому отвечает высшее собственное значение.

§ 6. ДВЕ ТЕОРЕМЫ

Теперь мы в состоянии установить некоторые полезные теоремы. Теорема 1. Пусть $|\mathbf{e}, \gamma\rangle$ является собственным состоянием оператора E. Если $K_+|\mathbf{e}, \gamma\rangle$ отлична от нуля, то $K_+|\mathbf{e}, \gamma\rangle$ является также собственным состоянием оператора E с собственным значением $\mathbf{e}+\mathbf{k}$.

Доказательство. Пз $[\mathbf{E}, \mathbf{K}_{+}] = \mathbf{k} K_{-}$ следует

$$\mathbf{E}K_{+} \mid \mathbf{e}, \ \gamma \rangle = K_{+} (\mathbf{E} + \mathbf{k}) \mid \mathbf{e}, \ \gamma \rangle = (\mathbf{e} + \mathbf{k}) K_{+} \mid \mathbf{e}, \ \gamma \rangle,$$

что и требовалось доказать.

Аналогично имеем, если $K_- \mid \mathbf{e}, \gamma \rangle \neq 0$, то $K_- \mid \mathbf{e}, \gamma \rangle$ имеет собственные значения $\mathbf{e} - \mathbf{k}$; если $I_{\pm} \mid \mathbf{e}, \gamma \rangle \neq 0$, то $I_{\pm} \mid \mathbf{e}, \gamma \rangle$ имеет собственное значение $\mathbf{e} \pm \mathbf{i}$, и если $L_{\pm} \mid \mathbf{e}, \gamma \rangle \neq 0$, то $L_{\pm} \mid \mathbf{e}, \gamma \rangle$ имеет собственное значение $\mathbf{e} \pm \mathbf{i}$. Эта теорема имеет простую геометрическую интериретацию в виде двухмерной диаграммы собственных значений (рис. 1). На этой диаграмме каждое собственное значение представляется точкой $\mathbf{e}^- (T_z, m)$.

Эти точки образуют некоторую решетку, расстояние между соседними точками составляет i, k или l.Теорема 2. Пусть $|e, \gamma\rangle$ явия-

ется собственным состоянием оператора Е, тогда $P_{i-1}{
m e},\; \gamma$) также является собственным состоянием оператора Е с собственным значением e-2i (ie). Степень вырождения состояния $P_i \mid e, \gamma$) такая же, как и состоя-

ния (е, у). Доказательство. $P_i^{-1}EP_i = E - 2i$ (i E) следует

$$\mathbf{E}P_i \mid \mathbf{e}, \ \gamma) = P_i \left\{ \mathbf{E} - 2\mathbf{i} \ (\mathbf{i}\mathbf{E}) \right\} \mid \mathbf{e}, \ \gamma) =$$

$$= \left\{ \mathbf{e} - 2\mathbf{i} \ (\mathbf{i}\mathbf{E}) \right\} P_{i+} \mathbf{e}, \ \gamma).$$

Кроме того, так как P_i является унитарным оператором, он сохраняет кратность

состояния. Апалогично найдем, что P_k † е, γ) и P_l † е, γ) имеют собственные значения e — 2k (k e) п e — 21 (l e). Степень вырождения этих состояний опять та же, что и состояния теу).

Эта теорема также имеет простую геометрическую интерпретацию на двухмерной диаграмме собственных значений. Если е. — некоторое собственное значение, то можно получить также значения ${f e}_2,\,{f e}_3$ и ${f e}_4,\,$ полученные и ${f i},\,{f e}_1$ посредством отражения относительно прямых, проходящих чёрез начало координат и перпендикулярных к векторам і, к и 1. Эти точки изображают также собственные значения (рис. 2, а). Еще одно применение P_i дает еще два собственных значения ${f e}_5$ и ${f e}_6$, так что в общем случае существование одного собственного значения влечет за собой шесть собственных значений **) имеющих такую же степень вырождения.

Существуют два исключения. Первое имеет место, когда собственное значение е лежит на одной из отражательных осей (рис. 2, б). В этом случае существование одного

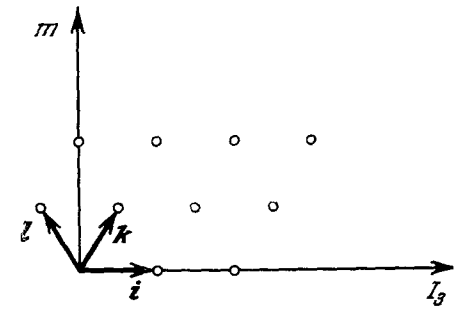


Рис. 1. Часть двухмерной диаграммы собственных значений, иллюстрирующая периодическую решетку (теорема 1).

^{*)} См. ²¹, § 8—14, лемма II. **) В лекциях Рака́ ²³ показано, что не только е и е — і (і е) являются собственными значениями, но и вся цепочка (изомультиплет), связывающая эти два собственных значения.

собственного значения влечет за собой существование только трех собственных значений. Второе исключение имеет место, когда собственное значение e_i находится в начале координат: $\mathbf{e}_1 = (0,\ 0)$. В этом случае других собственных значений не возникает.

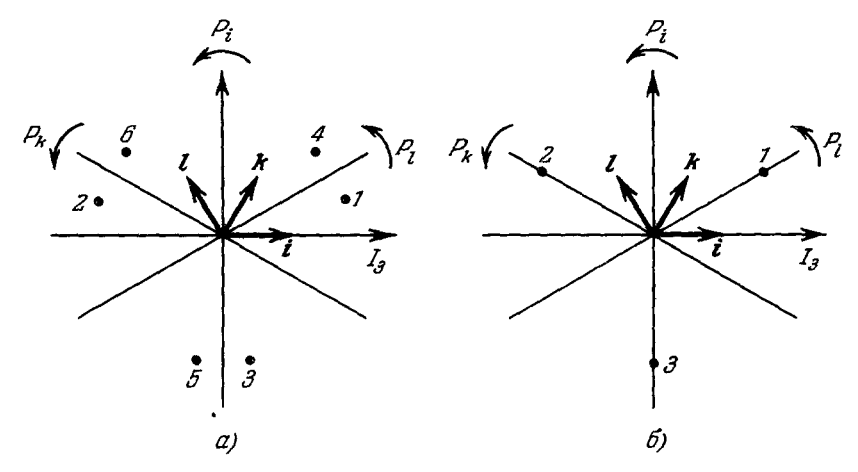


Рис. 2. Двухмерная диаграмма собственных значений, иллюстрирующая действие операторов P_i , P_h и P_l на состояние φ (1) (теорема 2). а) Для общего случая e(1): $P_i \varphi (1) = \varphi (2)$, $P_h \varphi (1) = \varphi (3)$, $P_l \varphi (1) = \varphi (4)$; $P_i \varphi (3) = \varphi (5)$, $P_l \varphi (4) = \varphi (6)$, б) для случая, когда e (1) находится на оси отражения P_l : $P_i \varphi (1) = \varphi (2)$, $P_h \varphi (1) = \varphi (3)$, $P_l \varphi (1) = \varphi (1)$.

Заметим, что оператор $P_{\,i}$ представляет собой оператор зарядовой симметрии. Симметрии, связанные с операторами P_k и P_l , являются, таким образом, обобщением принципа зарядовой симметрии.

§ 7. НЕПРИВОДИМЫЕ ПРЕДСТАВЛЕНИЯ. I

В этом разделе мы рассмотрим простейшие неприводимые представления, пред-

ставляющие для нас интерес.

 $D\left(0,\ 0\right)=\{1\}.$ Это $\Pi\Pi$ содержит только одно состояние и, в силу теоремы 2, собственное значение e, относящееся k этому единственному состоянию, есть e=(0,0). В октетной модели оператор гиперзаряда Y=S+B отождествляется c оператором

$$Y = \left(\frac{2}{\sqrt{3}}\right) M. \tag{7.1}$$

Поэтому это состояние является изосинглетом с Y=0. Операторы F_i мы можем пред-

поэтому это состояние является изосинглетом с Y — 0. Операторы Y_i мы можем представить матрицами 1×1 , которые тождественно равны нулю (пулевой след). D $(1,0)=\{3\}$. В этом случае согласно теореме 2 имеются три возможности. Первая возможность — это трехкратно вырожденное собственное значение в начале координат I=Y=0. В этом случае все операторы F_i равны тождественно нулю. Так как они являются матрицами 3×3 , этот случай приводим. Две другие возможности имеют диаграммы собственных значений, изображенные на рис. 3. Здесь мы должны сделать выбор. Мы сделаем обычно принятый выбор (рис. 3, а). Мы оставляем диаграмму собственных значений (рис. 3, 6) для контраградиентного представления $D(0, 1) = \{3^*\}$. Поэтому мы можем записать

$$I_3 \! = \! \frac{1}{2} \! \begin{pmatrix} 1 & 0 & 0 \\ 0 & -1 & 0 \\ 0 & 0 & 0 \end{pmatrix} \quad \text{w} \quad M \! = \! \frac{1}{2 + \tilde{3}} \! \begin{pmatrix} 1 & 0 & 0 \\ 0 & 1 & 0 \\ 0 & 0 & -2 \end{pmatrix}.$$

Перед тем как установить вид других матриц, мы должны сначала определить относительные фазы этих трех состояний. Мы сделаем это следующим образом.

1) В пределах одного изомультиплета мы используем фазовое условие Кондова и Шортли ²⁴, ²⁶. Это устанавливает, что

$$I_{+}\varphi_{1}=0$$
, $I_{+}\varphi_{2}=0$, $I_{+}\varphi_{3}=0$.

2) Относительные фазы различных изомультиплетов также можно определить весьма просто. Мы примем также для операторов K_\pm выбор фаз Кондона и Шортли. Поэтому

$$K_{+}\varphi_{1}=0$$
, $K_{+}\varphi_{2}=0$, $K_{+}\varphi_{3}-\varphi_{1}$.

Матричные элементы операторов I_\pm и K_\pm теперь полностью определены, а этим определены также и матричные элементы оператора $L_+=\{I_-,\ K_+\}$. Мы можем принять

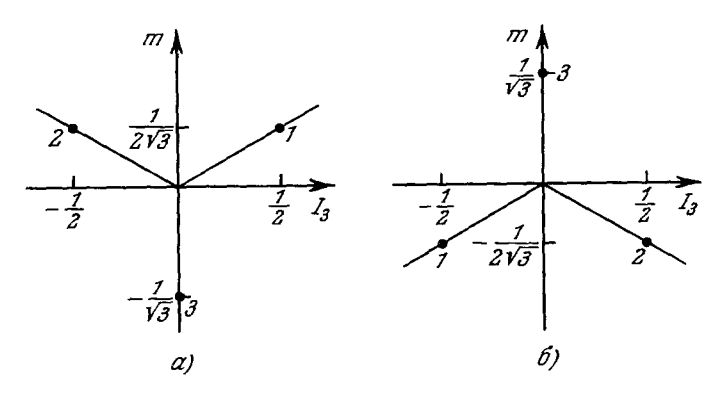


Рис. 3. Диаграммы собственных значений для неприводимых представлений с N=3.

а) Неприводимое представление $D(1,0)=\{3\},\ \delta$) неприводимое представление $D(0,1)=\{3^*\}.$

 $\phi_1=x^1$, $\phi_2=x^2$ и $\phi_3=x^3$. Эти состояния ϕ_1 , ϕ_2 и ϕ_3 для группы SU (3) эквивалентны состояниям α (спин вверх) и β (спин вниз) для SU (2).

D (0, 1) $\stackrel{.}{=}$ $\{3^*\}$. Диа́грамма собственных значений дана на рпс. 3, δ . Мы можем поэтому записать

$$I_3 = \frac{1}{2} \begin{pmatrix} -1 & 0 & 0 \\ 0 & 1 & 0 \\ 0 & 0 & 0 \end{pmatrix} \quad \mathbf{n} \quad M = \frac{1}{2\sqrt{3}} \begin{pmatrix} -1 & 0 & 0 \\ 0 & -1 & 0 \\ 0 & 0 & 2 \end{pmatrix}.$$

В силу выбранного нами условия фаз мы имеем

$$I_{+}\varphi_{i} = \delta_{i1}\varphi_{2}, K_{+}\varphi_{i} = \delta_{i1}\varphi_{2}.$$

Поэтому мы можем положить *) φ_1 (3*) = $-x_1$, φ_2 (3*) = x_2 и φ_3 (3*) = x_3 . Все ИП D (p, q) можно образовать посредством прямого произведения D (1, 0) p раз и D (0, 1) q раз. Это прямое произведение, конечно, содержит более чем одно НИ D (p, q). Однако яспо, что высшее собственное состояще D (p, q) φ (e_H) может быть образовано только одним путем:

$$\phi (e_H) = \underbrace{x^1 y^1 \dots z^1}_{p \text{ множителей}} \underbrace{u_2 v_2 \dots w_2}_{q \text{ множителей}}.$$
(7,2)

Поэтому высшим собственным значением является

$$\mathbf{e}_{H} = \left(\frac{p+q}{2}, \frac{p-q}{2\sqrt{3}}\right). \tag{7.3}$$

Кроме того, ясно, что высшее собственное значение не вырождено. Высшему собственному состоянию отвечает гиперзаряд

$$Y = \frac{p - q}{3} \quad . \tag{7.4}$$

^{*)} Относительно фазовых множителей см. § 8.

Физически гиперзаряд должен быть целым. Если мы хотим ограничиться октетной моделью, то не все ИП группы SU (3) представляют физический интерес. Только те НП реализуются в природе *), для которых p-q=3n, где $n=0,\pm 1,\pm 2,\pm 3$ и т. д. Такими являются представления:

Для того чтобы быть ближе к физикс, мы в дальнейшем будем пользоваться только оператором гиперзаряда Y и его собственными значениями. Однако мы так изменили масштаб вертикальной оси на диаграммах собственных значений, чтобы единица длины по вертикальной оси соответствовала, как прежде, собственным значенцям оператора М. Таким образом, мы сохраним высокую симметрию этих диаграмм.

Чтобы иметь возможность простого обозначения различных собственных состояний данного ПП, мы будем нумеровать их от 1 до N. Мы выберем следующий порядок

нумерации состояний:

а) внутри изомультиплета состояния нумеруются в порядке убывания $I_{\,z}$, б) изомультиплеты, принадлежащие к одному и тому же У, нумеруются в порядке убывания I,

в) группы состояний с различными Y нумеруются в порядке убывания Y. Для контраградиентных представлений $\{N^*\}$ мы выберем обратное условие для а) и б); мы будем нумеровать состояния внутри изомультиплета в порядке возрастаа) и б), мы будем нумеровать состояния внутри изомультивнега в порядке возрастания I_z и группы изомультивнетов с различными Y в порядке возрастания Y. Такьм образом, днаграмма собственных значений для $\{N^*\}$ будет отраженной в начале координат ($I_z=0,\ Y=0$) днаграммой для $\{N\}$. Для того чтобы иметь возможность в дальнейшем однозначно определить коэффициенты Клебша — Гордана для SU (3), необходимо прежде всего определить более точно относительные фазы внутри данных Н II. Мы примем поэтому следующие условия:

1. Относительные фазы внутри данного изомультиплета определяются условием фаз Кондона и Шортли ²⁴. Тогда

$$I_{+} \varphi (I, I_{z}, Y) = [(I - I_{z}) (I + I_{z} + 1)]^{1/2} \varphi (I, I_{z} + 1, Y),$$

$$I_{-} \varphi (I, I_{z}, Y) = [(I + I_{z}) (I - I_{z} + 1)]^{1/2} \varphi (I, I_{z} - 1, Y)$$
(7.5)

И

$$P_i \varphi(I, I_z, Y) = (-)^{I + I_z} \varphi(I, -I_z, Y).$$
 (7.6)

2. Отпосительные фазы между различными изомультиплетами мы определим при помощи операторов K_\pm . Биденгарн 25 показал, что

$$K_{+} \varphi (I, I_{z}, Y) = b_{+} \varphi \left(I + \frac{1}{2}, I_{z} - \frac{1}{2}, Y + 1 \right) + b_{-} \varphi \left(I - \frac{1}{2}, I_{z} + \frac{1}{2}, Y - 1 \right),$$
 (7.7)

где

$$b_{+} = \left\{ \frac{(I + I_{z} - 1) \left[\frac{1}{3} (p - q) + I + \frac{1}{2} Y + 1 \right] \left[\frac{1}{3} (p - 2q) + I + \frac{1}{2} Y + \frac{1}{2} Y + \frac{1}{2} Y + \frac{1}{2} Y \right]}{-2 (I + 1) (2I + 1)} \right\}^{1/2}$$
(7,8a)

п

$$b_{-} = \left\{ \frac{(I - I_{z}) \left[\frac{1}{3} (q - p) + I - \frac{1}{2} Y \right] \left[\frac{1}{3} (p + 2q) - I + \frac{1}{2} Y - \frac{1}{2} Y -$$

Мы будем требовать вещественности и положительности коэффициентов b_{+} . Это однозначно определяет относительные фазы всех состояний данного HII.

^{*)} Это следует из нашего частного выбора оператора гиперзаряда (7,1).

§ 8. КОНТРАГРАДИЕНТИЫЕ ПРЕДСТАВЛЕНИЯ

Представление $D\left(p,\ q\right)$ называется контраградиентным представлению $D\left(q,\ p\right)$. Эти представления тесно связаны между собой.

Если матрица $U=e^{i\alpha_i F_i}$ является представлением элемента группы SU(3), то $U^* = (U^{-1})^T$. Палее.

$$(U^{-1})^T = e^{-i\alpha_i F_i^T} = e^{i\alpha_i F_i'}.$$

Поэтому мы можем выбрать (в действительности мы не будем так поступать) (см. (8,1)) генераторы F_i контраградиентного представления следующим образом:

$$F_i' = -F_i^T$$
:

это означает, что

$$I'_{3} = -I_{3}, \quad I'_{\pm} = -I_{\mp},$$

 $Y' = -Y, \quad K'_{\pm} = -K_{\mp},$
 $L'_{\pm} = -L_{\mp},$

и соотношение между собственными состояниями будет следующим:

$$\varphi(\{N^*\}, I, I_z, Y) = \eta \varphi^*(\{N\}, I, -I_z, -Y),$$

где η — общий фазовый множитель. Этот выбор пеудобен, так как при этом не все элементы матриц I_{\pm} и K_{\pm} положительны, чего требуют наши фазовые условия 1) и 2). Мы должны сделать следующий выбор для матриц F_i^{ε} контраградиентного представления $\{N^*\}$, если нам даны матрицы F_i представления $\{N\}$:

$$I_3'' = -I_3 \text{ if } Y'' = -Y.$$
 (8.1a)

Это следует из диаграммы собственных значений и выбора порядка нумерации различных состояний. Наши фазовые условия требуют выбора

$$I''_{\pm} = I_{\mp}, \quad K''_{\pm} = K_{\mp}.$$
 (8.16)

Тогда из перестановочных соотношений (4,1в) следует

$$L''_{\pm} = -L_{\mp}.$$
 (8.1_B)

Таким образом, соотношение между собственными состояниями $\{N\}$ и $\{N^*\}$ имеет вид

$$\varphi(\{N^*\}, I, I_z, Y) = \eta(-)^{I_z + \frac{1}{2}Y} \varphi^*(\{N\}, I, -I_z, -Y).$$
 (8,2)

Здесь п — общий фазовый множитель, который удобно выбрать при помощи условия *)

$$\varphi(\{N^*\}, I, 0, 0) = \varphi^*(\{N\}, I, 0, 0); \tag{8.3}$$

тогда $\eta = 1$.

§ 9. НЕПРИВОДИМЫЕ ПРЕДСТАВЛЕНИЯ. И

В этом параграфе мы рассмотрим те НП, которые будут дальше использованы. D (1, 1) = {8}. Мы можем сразу построить диаграмму собственных значений (рис. 4, a). Высшим собственным значением является \mathbf{e}_3 , для которого $I_z=1$, Y=0, откуда I=1. Согласно теореме 2 это собственное значение влечет за собой существование шести собственных значений \mathbf{e}_1 , \mathbf{e}_2 , \mathbf{e}_3 , \mathbf{e}_5 , \mathbf{e}_7 и \mathbf{e}_8 (все невырождены). Существование \mathbf{e}_4 (I=1, $I_z=0$, Y=0) также вызвано существованием \mathbf{e}_3 , так как \mathbf{e}_3 , \mathbf{e}_4 и \mathbf{e}_5 образуют изомультиплет I=1. Таким образом, мы пасчитываем семь состояний. Педостающее восьмое состояние \mathbf{e}_6 не может быть ничем, как состоянием I=0, Y=0. Матрицы I_\pm даются формулой (7,5), а матрицы K_+ формулами (7,7) и (7,8). D (3, 0) = {10}. Диаграмма собственных значений изображена на рис. 4, 6. Высшим собственным значением является \mathbf{e}_1 ($I=\frac{3}{2}$, $I_z=\frac{3}{2}$, Y=1). Согласно теореме 2 существуют также собственные значения \mathbf{e}_4 и \mathbf{e}_{10} . Собственные значения \mathbf{e}_2 и \mathbf{e}_3

должны существовать, так как входят в изомультиплет $I=rac{3}{2}\,,\,\,Y$ = 1. Но существо-

^{*)} В октетной модели каждое НП содержит состояние с $I_z=Y=0$; см. также § 14.

УФН, т. LXXXIV, вып. 4

вание ${\bf e}_2$ и ${\bf e}_3$ на основании теоремы 2 влечет за собой существование собственных значений ${\bf e}_5$, ${\bf e}_7$, ${\bf e}_8$ и ${\bf e}_9$. Последнее собственное значение ${\bf e}_6$ должно существовать, так как оно входит в изомультиплет $I=1,\ Y=0.$

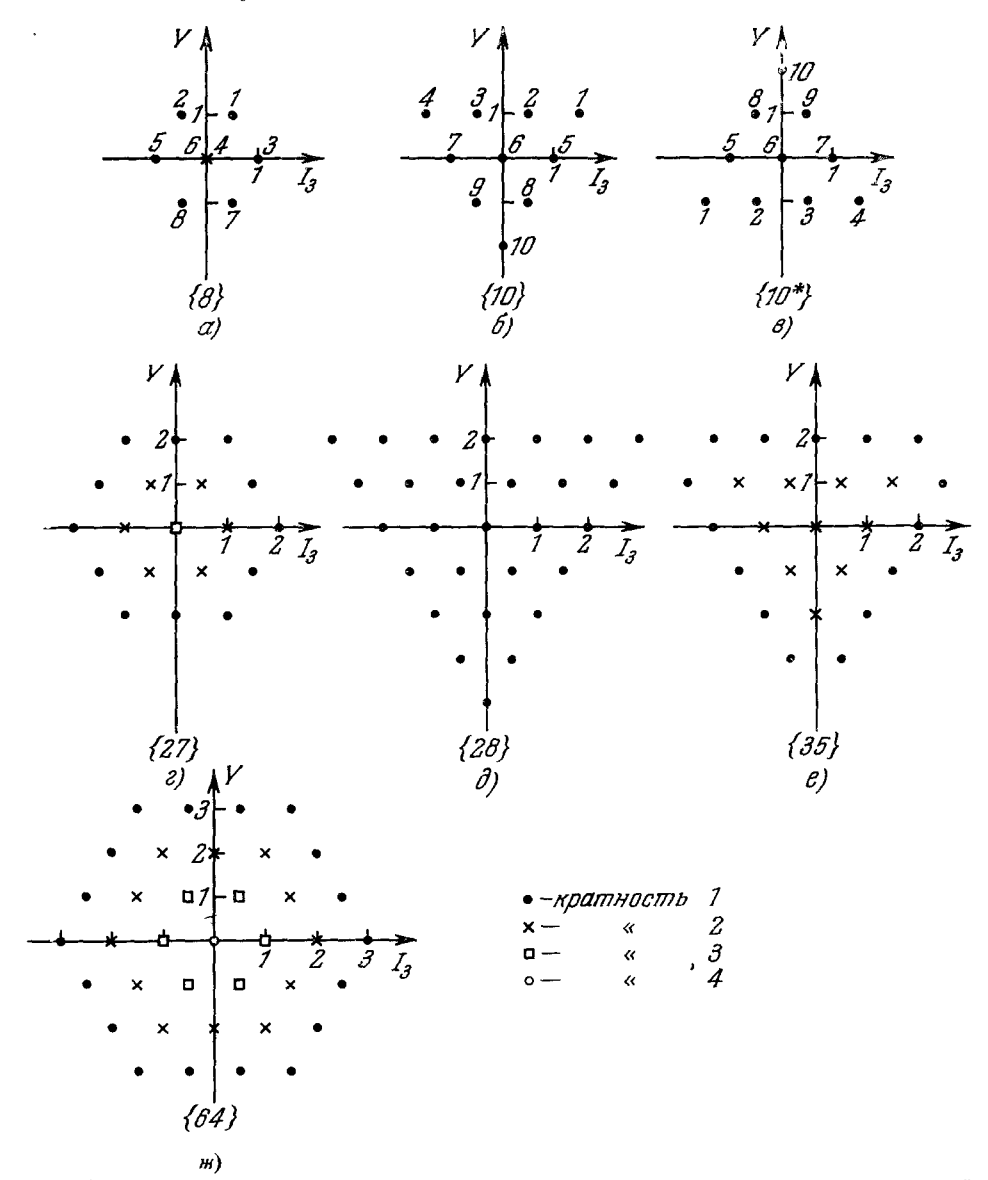


Рис. 4. Диаграммы собственных значений для низших неприводимых представлений.

D (0, 3) -- {10*}. Диаграмма собственных значений изображена на рис. 4. ϵ . Матрица K, легко определяется из соответствующей матрицы представления {10 . Мы имеем

$$K_{\pm}(10^*) = [K_{\pm}(10)]^{\dagger}$$
.

Представления

$$D(2.2) = \{27\}, D(6.0) = \{28\},$$

 $D(4.1) = \{25\}, D(3.3) = \{64\} \text{ if T. g.}$

и соответствующие контраградиентные представления $\{28^*\}$, $\{35^*\}$ и т. д. можно получить таким же путем. Диаграммы собственных значений даны на рис. 4, s, d.

§ 10. КОЭФФИЦИЕНТЫ КЛЕБША — ГОРДАНА

Произведение двух НП D (p_1, q_1) D (p_2, q_2) в общем случае приводимо. Символически можно записать

$$D(p_1, q_1) \otimes D(p_2, q_2) = \sum_{P_1, Q} \oplus \sigma(P, Q) D(P, Q),$$
 (10,1)

где $\sigma(P,Q)$ — целое число. Ряд в правой части формулы (10,1) называется рядом Клебша — Гордана (ряд КГ). Эта символическая формула означает, что представления $D_{\sigma}(P,Q)$ содержатся $\sigma(P,Q)$ раз в прямом произведении неприводимых предста-

ний D (p_1, q_1) и D (p_2, q_2) . Мы видели в § 5, что полный набор операторов, необходимый для однозначного определения состояний данного НП, состоит из G^3 , F^2 , I^2 , I_3 и Y. Состояния произведения D $(p_1, q_1) \otimes D$ (p_2, q_2) будут поэтому полностью определены собственными значениями 10 линейно-независимых коммутирующих операторов:

$$G^{3}$$
 (1), G^{3} (2), F^{2} (1), F^{2} (2), I^{2} (1), I^{2} (2), I_{3} (1), I_{3} (2), Y (1) if Y (2). (1)

Если мы определим операторы

$$F_i = F_i(1) + F_i(2) \quad (i = 1, ..., 8),$$
 (10,2)

то набором коммутирующих операторов (неполиым) будет

$$G^3$$
, G^3 (1), G^3 (2), F^2 , F^2 (1), F^2 (2), I^2 , I_3 if Y .

Однако это дает только девять операторов. Нам нужен еще один оператор для того. чтобы сделать этот набор полным. Этот оператор $\Gamma,$ к сожалению, не содержится внутри группы. Мы должны выйти за пределы этой группы, чтобы найти этот оператор *), который необходим для раз. Пчения разных $D\left(P,Q\right)$ при одинаковых P и Q в том случае, когда $\sigma\left(P,Q\right)>1$. Таким образом, полным набором коммутирующих операторов является

$$G^{3}, G^{3}(1), G^{3}(2), F^{2}, F^{2}(1), F^{2}(2), I^{2}, I_{3}, Y \text{ if } \Gamma.$$
 (II)

В дальнейшем мы будем употреблять сокращенное обозначение в тех случаях, когда это не приведет к путанице. Мы будем обозначать собственные значения g³ и f² oneparoров G^3 и F^2 общим индексом μ , собственные значения I, I_z и Y через \mathbf{v} , а собственное значение Γ через \mathbf{v} . Мы будем обозначать собственное состояние представления D $(p_1,\ q_1)$ через $\phi_{\mathbf{v}_1}^{(\mu_1)}$, собственные состояния D $(p_2,\ q_2)$ через $\phi_{\mathbf{v}_2}^{(\mu_2)}$. Мы будем обозначать собственные состояния набора оператора (II) в представлении произведения через

$$\psi\left(\begin{array}{cc} \mu_1 & \mu_2 & \mu_{\gamma} \\ v \end{array}\right)$$
.

Размерность представления D (p_i , q_i) равна N_i . В N_1N_2 -мерном пространстве произведения мы можем выбрать в качестве базиса или произведения векторов $\phi_{v_1}^{(\mu_1)}$ на $\phi_{v_2}^{(\mu_2)}$, или векторы $\phi_{v_1}^{(\mu_1)}$ на $\phi_{v_2}^{(\mu_2)}$ на $\phi_{v_2}^{(\mu_2)}$ на $\phi_{v_3}^{(\mu_2)}$

$$\psi\left(\begin{array}{cc} \mu_1 \ \mu_2 \ \mu_\gamma \\ \end{array}\right)$$

различных ИП, содержащихся в произведении D $(p_1, q_1) \otimes D$ (p_2, q_2) . Эти два различных набора ортопормированных базисных векторов связаны упитарным преобразсванием **)

$$\psi \left(\begin{array}{c} \mu_1 \ \mu_2 \ \mu_{\gamma} \\ \nu \end{array} \right) = \sum_{\nu_1, \nu_2} \left(\begin{array}{cc} \mu_1 \ \mu_2 \ \mu_{\gamma} \\ \nu_1 \ \nu_2 \ \nu \end{array} \right) \varphi_{\nu_1}^{(\mu_1)} \varphi_{\nu_2}^{(\mu_2)} \ . \tag{10.3}$$

Коэффициенты $\begin{pmatrix} \mu_1 & \mu_2 & \mu_\gamma \\ \nu_1 & \nu_2 & \nu \end{pmatrix}$ представляют собой коэффициенты Клебша — Гордана (КГ-коэффициенты) группы SU(3).

Можно рассмотреть ту же задачу с иной точки зрения, весьма полезной. Произведения состояний $\phi_{\mathbf{v_1}}^{(\mu_1)}\phi_{\mathbf{v_2}}^{(\mu_2)}$ являются собственными состояниями операторов (1).

^{*)} Это почти все, что можно сказать об операторе Г. Практически пользуются свойствами симметрии волловой функции.

^{**)} Оказывается, можно выбрать различные произвольные фазы так, чтобы все КГ-коэффициенты были действительными. Тогда матрица преобразования является действительной ортогональной матрицей.

Поэтому они являются также собственными состояниями операторов $I_z=I_{1z}+I_{2z}$ и $Y=Y_1+Y_2$, но не операторов G^3 , F^3 , Γ и I^2 . Мы можем построить при помощи коэффициентов Клебша — Гордана $C_{11z_1z_2z_1z}^{I_1I_2I}$ группы SU(2), собственные состояния χ операторов G^3 (1), G^3 (2), F^2 (1), F^2 (2), I, I_z и Y, не являющихся, однако, собственными состояниями операторов G^3 , F^2 и Γ .

Тогда

$$\chi \left(\frac{\mu_1}{I_1 Y_1} - \frac{\mu_2}{I_2 Y_2} I I_2 Y \right) = \sum_{I_1 \ge I_2 \le 2} C_{I_1 z_1 z_2 I_2}^{I_1 I_2 I} \varphi_{\nu_1}^{(\mu_1)} \varphi_{\nu_2}^{(\mu_2)}. \tag{10.4}$$

Далее мы можем комбинировать различные χ так, чтобы получить собственные состояния операторов набора (II)

$$\psi \left(\begin{array}{c} \mu_{1} & \mu_{2} & \mu_{\gamma} \\ \nu \end{array} \right) = \sum_{\substack{I_{1}, Y_{1} \\ I_{2}, Y_{2}}} \left(\begin{array}{cc} \mu_{1} & \mu_{2} \\ I_{1}Y_{1} & I_{2}Y_{2} \end{array} \middle| \begin{array}{c} \mu_{\gamma} \\ IY \end{array} \right) \chi \left(\begin{array}{cc} \mu_{1} & \mu_{2} \\ I_{1}Y_{1} & I_{2}Y_{2} \end{array} \middle| II_{2}Y \right). \tag{10.5}$$

Коэффициенты

$$\begin{pmatrix} \mu_1 & \mu_2 & \mu_\gamma \\ I_1 Y_1 & I_2 Y_2 & IY \end{pmatrix}$$

называются изоскалярными факторами 12 . Отметим зависимость изоскалярных факторов от полного изоспина I.

Сравнение (10,4) с (10,5) и (10,3) дает

$$\begin{pmatrix} \mu_1 & \mu_2 & \mu_{\gamma} \\ v_1 & v_2 & v \end{pmatrix} = C^{I_1 I_2 I}_{I_1 Z I_2 Z I_2} \begin{pmatrix} \mu_1 & \mu_2 \\ I_1 Y_1 & I_2 Y_2 \end{pmatrix} \frac{\mu_{\gamma}}{I Y} .$$
 (10,6)

Так как КГ-коэффициенты группы SU (2) хорошо известны, для полного определения КГ-коэффициентов группы SU (3) достаточно знать изоскалярные факторы. При этом, однако, нужно обратить внимание на то, чтобы КГ-коэффициенты группы SU (2) были взяты с правильными фазовыми множителями 24 .

SU(2) были взяты с правильными фазовыми множителями 24 . Для однозначного определения изоскалярных факторов надо определить относительные фазы базисных векторов НП D(P,Q) в КГ-ряде (10,1) по отношению к базисным векторам произведения представлений $D(p_1,q_1)\otimes D(p_2,q_2)$. Мы будем считать эти фазовые факторы всегда вещественными, тогда изоскалярные факторы тоже будут вещественны. Для выбора знака фазового множителя мы рассмотрим высшее собственное состояние $\phi_{VH}^{(\mu)}$, принадлежащего к НП D(P,Q); тогда

$$\phi_{\nu_H}^{(\mu)} = \sum_{\nu_1, \nu_2} \left(\begin{array}{ccc} \mu_1 & \mu_2 & \mu_\gamma \\ \nu_1 & \nu_2 & \nu_H \end{array} \right) \phi_{\nu_1}^{(\mu_1)} \phi_{\nu_2}^{(\mu_2)}.$$

Среди различных КГ-коэффициентов мы выберем положительным тот, который содержит наибольшее возможное I_4 . Если этого недостаточно, то выберем положительным также тот из коэффициентов с наибольшим возможным I_4 , у которого I_2 имеет наибольшее возможное значение. Этого условия достаточно для определения фаз в тех случаях, с которыми мы встретимся.

Конечно, этого недостаточно в общем случае, однако условие легко обобщается. Мы выбрали это условие, как наиболее прямое обобщение фазового условия, прини-

маемого для $K\Gamma$ -коэффициентов группы SU (2). Последнее требует

$$C_{j_1}^{j_1}_{j-j_1}^{j_2}_{j} > 0.$$

§ 11. СООТНОШЕНИЕ ОРТОГОНАЛЬНОСТИ

 $^{\cdots}$ КГ-коэффициенты группы SU (3) образуют вещественную ортогональную матрицу. Поэтому

$$\phi_{v_1}^{(\mu_1)}\phi_{v_2}^{(\mu_2)} = \sum_{\mu\nu\nu} \begin{pmatrix} \mu_1 & \mu_2 & \mu_{\nu} \\ \nu_1 & \nu_2 & \nu \end{pmatrix} \psi \begin{pmatrix} \mu_1 & \mu_2 & \mu_{\nu} \\ \nu \end{pmatrix}$$
(11,1)

и

$$\sum_{\mathbf{y}_{1}\mathbf{y}_{2}} \begin{pmatrix} \mu_{1} & \mu_{2} & \mu_{\gamma} \\ v_{1} & v_{2} & v \end{pmatrix} \begin{pmatrix} \mu_{1} & \mu_{2} & \mu_{\gamma'} \\ v_{1} & v_{2} & v' \end{pmatrix} = \delta_{\mu\mu'} \delta_{\gamma\gamma'} \delta_{\nu\nu'}, \tag{11,2a}$$

$$\sum_{\mathbf{u},\mathbf{v}} \begin{pmatrix} \mu_1 & \mu_2 & \mu_7 \\ \mathbf{v}_1 & \mathbf{v}_2 & \mathbf{v} \end{pmatrix} \begin{pmatrix} \mu_1 & \mu_2 & \mu_7 \\ \mathbf{v}_1' & \mathbf{v}_2' & \mathbf{v} \end{pmatrix} = \delta_{\mathbf{v}_1 \mathbf{v}_1'} \delta_{\mathbf{v}_2 \mathbf{v}_2'}. \tag{11,26}$$

Соотношения ортогональности КГ-коэффициентов группы SU (2) хорошо известны 26 . Поэтому изоскалярные факторы удовлетворяют следующим соотношениям ортогональности:

$$\sum_{\substack{I_{1}Y_{1}\\I_{2}Y_{2}}} {\begin{pmatrix} \mu_{1} & \mu_{2} & \mu_{\gamma}\\I_{1}Y_{1} & I_{2}Y_{2} & IY \end{pmatrix}} {\begin{pmatrix} \mu_{1} & \mu_{2}\\I_{1}Y_{1} & I_{2}Y_{2} & IY' \end{pmatrix}} = \delta_{\mu\mu'} \delta_{\gamma\gamma'} \delta_{\gamma\gamma'}, \tag{11,3a}$$

$$\sum_{\mu\gamma Y} \begin{pmatrix} \mu_{1} & \mu_{2} \\ I_{1}Y_{1} & I_{2}Y_{2} \end{pmatrix} \mu_{\gamma} \begin{pmatrix} \mu_{1} & \mu_{2} \\ I'_{1}Y'_{1} & I'_{2}Y'_{2} \end{pmatrix} \mu_{\gamma} \end{pmatrix} = \delta_{I_{1}I'_{1}} \delta_{I_{2}I'_{2}} \delta_{Y_{1}Y'_{1}} \delta_{Y_{2}Y'_{2}}.$$
(11,36)

§ 12. РЯД КЛЕБША — ГОРДАНА

Прямое произведение $D\otimes D$ двух НП группы SU (3) может быть разложено на несколько НП группы SU (3). Это формально описывается рядом Клебша — Гордана (10,1). Для того чтобы найти различные D (P, Q) и их кратности σ (P, Q), мы будем следовать методу Шпайзера 15 *).

Мы начнем с построения координатной системы (p, q) (рис. 5). В этой координатной системе мы можем представить каждое $\mathrm{H\Pi}\ D\ (p, q)$ в виде точки (p, q). Пусть

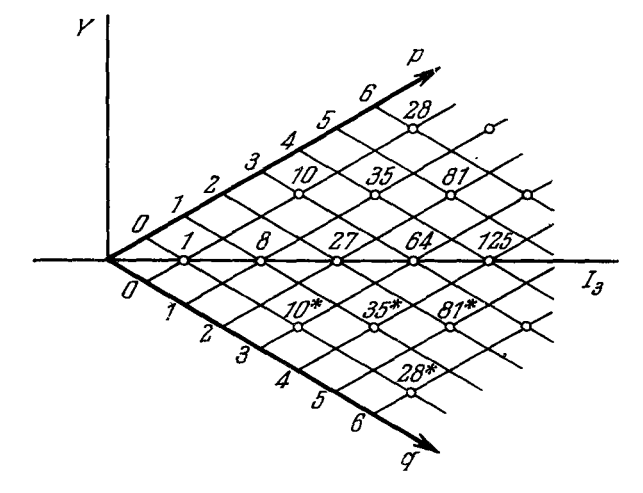


Рис. 5. Система координат, в которой каждому неприводимому представлению $\{N\} = D\ (p,\ q)$ отвечает точка (p, q).

наша система координат будет косоугольной; оси p и q расходятся под углами 30° к горизонтальной прямой, которую мы назовем осью I_3 (см. рис. 5). Ось, перпендикулярную к оси I_3 , назовем осью Y. Единицей длины по осям p и q пусть будет $l/\sqrt{3}$. Данее отразим этот рисунок относительно оси p и относительно оси q. Произведя еще отражение относительно оси Y, мы получим «решетку», показапную на рис. 6. Мы припишем положительный вес незаштрихованным секстантам, а заштрихованным — отрицательный вес.

ным — отрицательным вес. Для того чтобы получить ряд Клебша — Гордана для прямого произведения D $(p_1, q_1) \otimes D$ (p_2, q_2) , нам нужна днаграмма собственных состояний представления D (p_1, q_1) или D (p_2, q_2) с указанием кратности собственных значений. Предположим, что мы имеем днаграмму собственных значений представления D (p_1, q_1) , выполненную в масштабе: единицей длины по оси I_3 является l, а по оси Y $\frac{2}{3}$ I $\overline{3}l$.

Поместим диаграмму собственных значений D $(p_1,\ q_1)$ на рис. 6 так, чтобы собственное значение $(I_3,\ Y)=(0,0)$ совпало с точкой решетки $\{N_2\}=D$ $(p_2,\ q_2)$ в первом секстанте с положительным весом так, чтобы ось I_3 диаграммы собственных значений совпала по направлению с осью I_3 решетки. Собственные значения D $(p_1,\ q_1)$ будут теперь совпадать с точками решетки, изображающей пеприводимые представления,

^{*)} Этот метод можно применять для всех НП SU(3), а не только для тех ПП. которые используются нами. Так как нас интересует только октетная модель, то мы ограничиваемся применением метода лишь к таким случаям.

за исключением тех собственных значений, которые окажутся лежащими на осях $p,\,q$ или Y. Мы можем теперь сформулировать теорему Шпайзера.

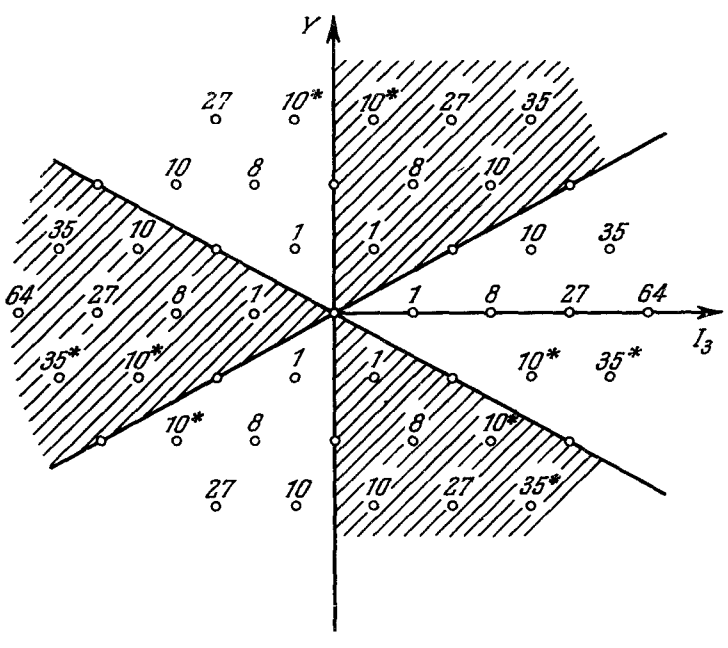


Рис. 6. Решетка. Пезаштрихованные области имеют положительный вес, а заштрихованные области — отрицательный вес.

Т е о р е м а. Каждое НП, совпадающее описанным выше способом с собственным значением D (p_1, q_1) , содержится в прямом произведении D $(p_1, q_1) \otimes D$ (p_2, q_2)

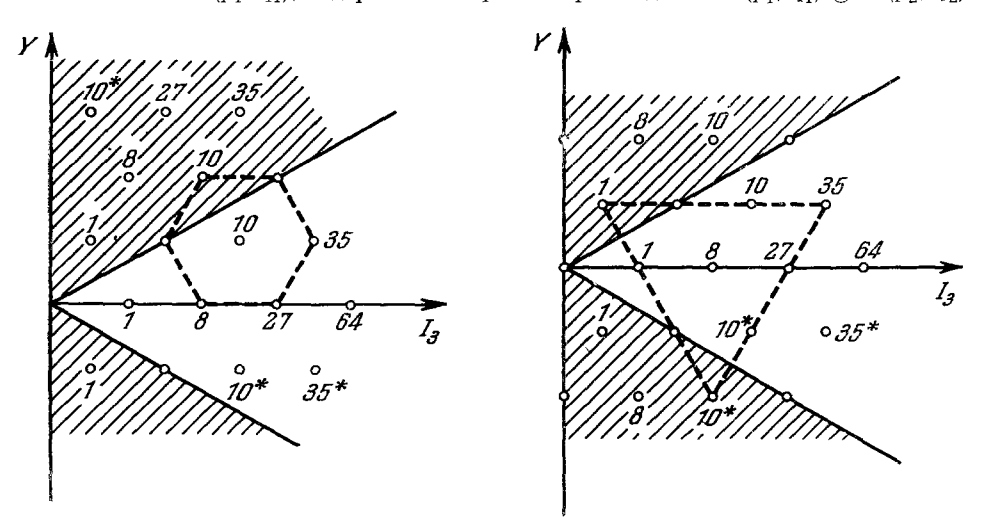


Рис. 7. Пахождение КГ-ряда для прямого произведения $\{8\} \otimes \{10\}$.

Рис. 8. Нахождение КГ-ряда для прямого произведения $\{10\} \otimes \{8\}$.

столько раз, какова кратность этого собственного значения, взятого с тем знаком, который отвечает знаку веса данного секстанта.

Поэтому вклад от секстантов отрицательного веса вычитается (а не складывается) из ряда Клебша — Гордана. Собственные значения, лежащие на осях $p,\ q$ и $Y,\$ учитывать не надо.

Для иллюстрации процедуры мы получим КГ-ряд произведения $\{8\} \otimes \{10\}$.

Мы сделаем это двумя способами.

Во-первых, совместим центр диаграммы собственных значений представления $\{8\}$ (см. рпс. 4, a) с точкой $\{10\}$ на положительном секстанте решетки (рис. 7). Таким образом, эта точка (HII) совпадает с собственным значением кратности два. Это дает вклад в КГ-ряд $\{2, 20\}$. Точки (HII) $\{8\}$, $\{27\}$ и $\{35\}$ лежат в положительном секстанте, а $\{10\}$ в отрицательном, и отвечающие им собственные значения однократны. Поэтому они дают следующий вклад в КГ-ряд:

$$\{8\} \oplus \{27\} \oplus \{35\} \supset \{10\}.$$

Мы пренебрегаем двумя собственными значениями, попадающими на ось p. Таким образом, полный К Γ -ряд имеет вид

$$\{8\} \otimes \{10\} = \{8\} \oplus \{27\} \oplus \{35\} \ominus \{10\} \oplus 2\{10\} = \{8\} \ominus \{10\} \oplus \{27\} \ominus \{35\}.$$

Чтобы получить этот КГ-ряд другим способом, совместим собственное значение (0,0) диаграммы собственных значений представления $\{10\}$ (см. рис. 4,6) с точкой $\{8\}$ на положительном секстанте решетки (рис. 8). Все собственные значения представления однократны. Положительный секстант дает

$$\{1\} \oplus \{8\} \oplus \{10\} \oplus \{10^*\} \oplus \{27\} \oplus \{35\},\$$

отрицательные секстапты дадут \ominus {1} \ominus {10*}. Онять мы пренебрежем двумя собственными значениями представления {10}, попадающими на оси p и q. Таким образом, как и прежде, К Γ -ряд будет иметь вид

$$\{10\} \otimes \{8\}$$
- $\{8\} \oplus \{10\} \oplus \{27\} \oplus \{35\}$.

§ 13. НЕПРИВОДИМЫЕ ПРЕДСТАВЛЕНИЯ И НЕПРИВОДИМЫЕ ТЕНЗОРНЫЕ ОПЕРАТОРЫ

При преобразовании группы SU (3) вектор x в пространстве C_3 преобразуется следующим образом:

$$x' = \alpha x. \tag{13.1}$$

Базисные векторы $\psi_{\mathcal{N}}^{(\boldsymbol{\mu})}$ представления $\{\boldsymbol{\mu}\} = D$ $(\boldsymbol{\rho}, | \boldsymbol{q}) = \{N\}$ преобразуются по закону

$$\psi_{v}^{\prime(\mu)} = U\psi_{v}^{(\mu)} = \sum_{v'=1}^{N} \psi_{v'}^{(\mu)} D_{v'v}^{(\mu)*} (\alpha). \tag{13.2}$$

Здесь $D^{(\mu)}$ — унимодулярная улитарная матрица. Таким образом,

$$\sum_{\mathbf{v}} D_{\mathbf{v}\mathbf{v}'}^{(\mu)}(\mathbf{a}) D_{\mathbf{v}\mathbf{v}''}^{(\mu)*}(\mathbf{a}) - \delta_{\mathbf{v}'\mathbf{v}''}$$
(13,3)

И

$$\psi_{\nu}^{(\mu)} = \sum_{\nu'} D_{\nu\nu'}^{(\mu)}(\alpha) \, \psi_{\nu'}^{\prime(\mu)} \,. \tag{13.4}$$

Как уже отмечалось в \S 3, матрицы $D^{(\mu)}$ образуют неприводимое представление $\{\mu\} = D\ (p,\ q)$ группы $SU\ (3)$. В том же разделе было показано, что каждое преобразование группы $SU\ (3)$ характеризуется восемью вещественными параметрами α_i . Таким образом, матрицы $D^{(\mu)}\ (\alpha)$ являются функциями α_i . Можно определить такую функцию плотности $\varrho\ (\alpha_i)$, чтобы *)

$$\int da_1 \ldots da_s \varrho (\alpha_1, \ldots, \alpha_8) = 1, \tag{13.5}$$

если этот интеграл распространен на все элементы группы SU (3). Мы запишем **)

$$d\Omega = d\alpha_1 \ldots d\alpha_s \varrho (\alpha_1, \ldots, \alpha_s).$$

$$\int d\Omega = \frac{1}{8\pi^2} \int_0^{2\pi} d\alpha \int_0^{\pi} \sin\beta \, d\beta \int_0^{2\pi} d\gamma,$$

где α , β и γ — три угла Эйлера.

Можно показать также, что *)

$$\int d\Omega D_{ih}^{(\mu)}(\alpha) D_{jl}^{(\nu)*}(\alpha) = \frac{1}{N_{\mu}} \delta_{\mu\nu} \delta_{ij} \delta_{kl}.$$
(13,6)

Из свойства преобразований (13,2) и (13,4) базисных векторов данного НП и определения (10,3) КГ-коэффициентов находим соотпошение

$$D_{\mathbf{v}_{1}\lambda_{1}}^{(\mu_{1})}(\alpha)D_{\mathbf{v}_{2}\lambda_{2}}^{(\mu_{2})}(\alpha) = \sum_{\mu\nu\lambda\nu} \begin{pmatrix} \mu_{1} & \mu_{2} & \mu_{\gamma} \\ \nu_{1} & \nu_{2} & \nu \end{pmatrix} \begin{pmatrix} \mu_{1} & \mu_{2} & \mu_{\gamma} \\ \lambda_{1} & \lambda_{2} & \lambda \end{pmatrix} D_{\mathbf{v}\lambda}^{(\mu)}(\alpha)$$
(13,7)

и обратное соотношение

$$\sum_{\substack{\mathbf{v}_{1}\mathbf{v}_{2}\\\lambda_{1}\lambda_{2}}} {\begin{pmatrix} \mu_{1} \ \mu_{2} \ \mu_{\gamma}\\ \mathbf{v}_{1} \ \mathbf{v}_{2} \ \mathbf{v} \end{pmatrix}} {\begin{pmatrix} \mu_{1} \ \mu_{2} \ \mu_{\gamma'}\\ \mathbf{v}_{1} \ \mathbf{v}_{2} \ \lambda \end{pmatrix}} D_{\mathbf{v}_{1}\lambda_{1}}^{(\mu_{1})} (\alpha) D_{\mathbf{v}_{2}\lambda_{2}}^{(\mu_{2})} (\alpha) = \delta_{\mu\mu'} \delta_{\gamma\gamma'} D_{\mathbf{v}\lambda}^{(\mu)} (\alpha).$$
(13,8)

Формула (13,2) определяет преобразование базисных векторов $\psi_{v}^{(\mu)}$ (μ) данного $\mathrm{H\Pi}\ D\ (p,\ q).$ Мы можем также определить неприводимые тензорные операторы ранга μ . Такой тепзор представляет собой набор N_{μ} операторов $T_{\nu}^{(\hat{\mu})}$, преобразующихся при преобразовании α группы SU (3) следующим образом:

$$T_{\nu}^{\prime(\mu)} = U T_{\nu}^{(\mu)} U^{-1} = \sum_{\nu'} T_{\nu'}^{(\mu)} D_{\nu'\nu}^{(\mu)*} (\alpha) ,$$
 (13,9)

с полной аналогией с формулой (13,2).

§ 14. СВОЙСТВА СИММЕТРИИ КГ-КОЭФФИЦИЕНТОВ

В этом разделе мы рассмотрим некоторые свойства симметрии КГ-коэффициентов группы SU(3) и изоскалярных факторов. К сожалению, недостаток сведений об операторе Г отражается в невозможности строгого определения некоторых общих фазовых множителей. Однако эти фазовые множители не очень существенны и могут быть фиксированы впоследствии.

1. Если в КГ-ряде $\{\mu_1\} \otimes \{\mu_2\}$ встречается НП $\{\mu\}_{\gamma}$, то оно же встретится п в КГ-ряде $\{\mu_2\} \otimes \{\mu_1\}$ ввиду тождественности этих рядов. Отсюда следует

$$\begin{pmatrix} \mu_1 & \mu_2 & \mu_{\gamma} \\ v_1 & v_2 & v \end{pmatrix} = \xi_1 \begin{pmatrix} \mu_2 & \mu_1 & \mu_{\gamma} \\ v_2 & v_1 & v \end{pmatrix}, \tag{14.1}$$

где $\xi_1=\pm 1$ в соответствии с пашим выбором фаз, приведенным в ξ 10. Эти коэффициенты $\xi_1=\xi_1~(\mu_1,~\mu_2,~\mu_\gamma)$ не зависят от «магнитных» квантовых чисел ν_1 , ν_2 и ν . Поэтому мы можем использовать высшее собственное значение ν_H представления ξ_1 и для породенения. $\{\mu\}_{\gamma}$ и для него найти значение ξ_1 . В силу свойств КГ-коэффициентов группы SU (2)

$$C_{I_{1}zI_{2}zI_{z}}^{I_{1}I_{2}I} = (-)^{I_{1}-I_{2}-I}C_{I_{2}zI_{1}zI_{z}}^{I_{2}I_{1}I_{z}}$$

$$(14,2)$$

мы получим для изоскалярных факторов соотношение

$$\begin{pmatrix} \mu_{1} & \mu_{2} & | & \mu_{\gamma} \\ I_{1}Y_{1} & I_{2}Y_{2} & | & IY \end{pmatrix} = \xi_{1} (-)^{I_{1}} {}^{I_{2}-I} \begin{pmatrix} \mu_{2} & \mu_{1} & | & \mu_{\gamma} \\ I_{2}Y_{2} & I_{1}Y_{1} & | & IY \end{pmatrix} .$$
 (14,3)

Из соотношения (14,3) получаем непосредственно, что

$$\begin{pmatrix} \mu_1 & \mu_1 \\ I_1Y_1 & I_1Y_1 \\ \end{pmatrix} \mu_{\gamma} = 0 \left\{ \begin{array}{ll} \text{для} & \xi_1 = 1, \text{ если } 2I_1 - I \text{ нечетио;} \\ \text{для} & \xi_1 = -1, \text{ если } 2I_1 - I \text{ четно.} \end{array} \right.$$

2. Рассмотрим интеграл

$$I = \int d\Omega \ D_{\nu_3 \lambda_3}^{(\mu_3)*}(\alpha) \ D_{\nu_2 \lambda_2}^{(\mu_2)}(\alpha) \ D_{\nu_1 \lambda_1}^{(\mu_1)}(\alpha). \tag{14.4}$$

*) Для SU(2) это хорошо известное соотношение

$$\int d\Omega \, D_{M_1 M_2'}^{(J_1)^*} D_{M_2 M_2'}^{(J_2)^*} = \frac{1}{2J_1 + 1} \, \delta_{J_1 J_2} \delta_{M_1 M_2} \delta_{M_1' M_2'}.$$

Используя (13,6) и (13,7), получим

$$I = \frac{1}{N_3} \sum_{\mathbf{y}} \left(\begin{array}{ccc} \mu_1 & \mu_2 & \mu_{3\mathbf{y}} \\ \mathbf{v}_1 & \mathbf{v}_2 & \mathbf{v}_3 \end{array} \right) \left(\begin{array}{ccc} \mu_1 & \mu_2 & \mu_{3\mathbf{y}} \\ \lambda_1 & \lambda_2 & \lambda_3 \end{array} \right) ; \tag{14.5}$$

из (8,2) можно записать

$$q_{\nu}^{(\mu^*)} = \eta (-)^{\bar{\nu}} q_{-\nu}^{(\mu)^*},$$
 (14,6)

где

$$\tilde{v} = I_z - \frac{1}{2} Y \pi - v = (I, -I_z, -Y).$$

 Φ азовый множитель η зависит только от μ , но не от ν . Φ ормула (13,4) вместе с (14,6) дает

$$D_{v'v}^{(\mathbf{u}^*)^*}(\alpha) = (-)^{\bar{\mathbf{v}}^{\perp}\bar{\mathbf{v}}'}D_{-v'-v}^{(\mathbf{\mu})}(\alpha). \tag{14.7}$$

Используя (14,7), мы можем переписать (14,4) в виде

$$\begin{split} I = & (-)^{\overline{\mathbf{v}}_2 + \overline{\lambda}_2 - \overline{\mathbf{v}}_3 + \overline{\lambda}_3} \int d\Omega \, D_{-\mathbf{v}_2 + \lambda_2}^{(\mu_2^*)^*}(\alpha) \, D_{-\mathbf{v}_3 - \lambda_3}^{(\mu_3^*)}(\alpha) \, D_{\mathbf{v}_1 \lambda_1}^{(\mu_1)}(\alpha) = \\ = & \frac{1}{N_2} \sum_{\mathbf{v}'} (-)^{\overline{\mathbf{v}}_2 - \overline{\mathbf{v}}_3} \begin{pmatrix} \mu_1 & \mu_3^* & \mu_{2\gamma'}^* \\ \mathbf{v}_1 & -\mathbf{v}_3 & -\mathbf{v}_2 \end{pmatrix} \begin{pmatrix} \mu_1 & \mu_3^* & \mu_{2\gamma'}^* \\ \lambda_1 & -\lambda_3 & -\lambda_2 \end{pmatrix} (-)^{\overline{\lambda}_2 + \overline{\lambda}_3}. \end{split}$$

Сравнивая последнее выражение для I (14,5) и замечая, что эта формула справедлива пезависимо от значений «магнитных» квантовых чисел v_1 , v_2 , v_3 , λ_1 , λ_2 и λ_3 , получим в случае только одного квантового числа γ

$$\begin{pmatrix} \mu_1 & \mu_2 & \mu_{3\gamma} \\ v_1 & v_2 & v_3 \end{pmatrix} = \xi_2 (-)^{I_{1z} + \frac{Y_1}{2}} \begin{pmatrix} \frac{Y_3}{Y_2} \end{pmatrix}^{1/2} \begin{pmatrix} \mu_1 & \mu_3^* & \mu_{2\gamma'}^* \\ v_1 & -v_3 & -v_2 \end{pmatrix} .$$
 (14,8)

Предполагается, что эта формула справедлива и может быть сделана справедливой подходящим выбором Γ и в том случае, когда имеются различные значения γ , относящиеся к одному и тому же μ_3 . Например, в случае $\{8\} \otimes \{8\} = \{8\}_1 \otimes \{8\}_2$ и $\{8\} \otimes \{27\} = \{27\}_1 \otimes \{27\}_2$ формула (14,8) будет справедлива. Произвольный фазовый множитель $\xi_2 = \xi_2$ (μ_1 , μ_2 , μ_3) = ± 1 онять не зависит от магнитных квантовых чисел. Этот фазовый множитель можно определить в каждом частном случае, рассматривая высшее собственное значение.

Для $K\Gamma$ -коэффициентов группы SU(2) мы имеем соотношение

$$C_{I_1 z_1 z_2 z_1 z_2}^{I_1 I_2 I_3} = (-)^{I_1 - I_1 z} \left(\frac{2I_3}{2I_2} \frac{1}{|-1|} \right)^{1/2} C_{I_1 z_1 z_1 z_1 z_2}^{I_1 I_2 I_3}$$

Поэтому для изоскалярных факторов будет иметь место соотношение

$$\left(\frac{\mu_{1}}{I_{1}Y_{1}}\frac{\mu_{2}+\mu_{3\gamma}}{I_{2}Y_{2}+I_{3}Y_{3}}\right) = \xi_{2}\left(-\right)^{I_{1}-\frac{Y_{1}}{2}} \left(\frac{(2I_{2}-1)}{(2I_{3}+1)}\frac{1}{X_{2}}\right)^{-1/2} \left(\frac{\mu_{1}}{I_{1}Y_{1}I_{3}}\frac{\mu_{3}^{2}}{-Y_{3}}\right) \frac{\mu_{2\gamma'}^{*}}{I_{2}-Y_{2}}\right).$$
(14,9)

Из (14,8) и $\begin{pmatrix} \mu & 1 & \mu \\ v & 0 & v \end{pmatrix} = 1$ следует

$$\begin{pmatrix} \mu & \mu^* & 1 \\ y & - & y & 0 \end{pmatrix} = (-)^{I_z - I_H - \frac{1}{2}} (Y - Y_H) \\ V^{-1/2}, \tag{14.40}$$

если высшее собственное значение $\{\mu\}$ отвечает $I=I_H$ и $Y=Y_H$ и $\{\mu\}=\{N\}$. Мы находим также

$$\left(\frac{\mu}{IY} \frac{\mu^*}{I - Y} \Big| \frac{1}{00} \right) = (-)^{I - I_H + \frac{1}{2}(Y - Y_H)} \left(\frac{2I + 1}{V} \right)^{1/2}.$$
 (14,11)

Проме того, из (14,9) получим

$$\begin{pmatrix} \mu_1 & \mu_2 \\ I_1^2 Y_2 & I_2 - Y_2 \end{pmatrix} = 0 \begin{cases} \text{для } \xi_2 = 1, \text{ если } I_1 - Y_2 \text{ нечетно,} \\ \text{для } \xi_2^- - 1, \text{ если } I_1 - Y_2 \text{ четно.} \end{cases}$$

3. Из определения КГ-коэффициентов (10,3), из их свойства вещественности и соотношения (14,6) следует

$$\begin{pmatrix} \mu_1 & \mu_2 & \mu_{3\gamma} \\ v_1 & v_2 & v_3 \end{pmatrix} = \xi_3 \begin{pmatrix} \mu_1^* & \mu_2^* & \mu_{3\gamma}^* \\ -v_1 & -v_2 & -v_3 \end{pmatrix} ,$$
 (14,12)

где ξ_3 не зависит от магнитных квантовых чисел v_1, v_2 и v_3 и ξ_3 — \pm 1. Важно отметить, что фазовое условие (8,3) не всегда можно применять одновременно к представлениям $\{\mu_1\}, \, \{\mu_2\}$ и $\{\mu_1\}$. Поэтому в некоторых случаях ξ_3 — 1. В силу соотношения

$$C_{I_{1}zI_{2}zI_{3}z}^{I_{1}I_{2}I_{3}} = (-)^{I_{1} + I_{2} - I_{3}} C_{-I_{1}z - I_{2}z - I_{3}z}^{I_{1}I_{2}I_{3}}$$

мы получим для изоскалярных факторов

$$\left(\frac{\mu_{1}}{I_{1}Y_{1}} - \frac{\mu_{2}}{I_{2}Y_{2}} \Big| \frac{\mu_{3\gamma}}{I_{3}Y_{3}}\right) - \xi_{3} \left(-\right)^{I_{1} - I_{2} - I_{3}} \left(\frac{\mu_{1}^{*}}{I_{1} - Y_{1}} - \frac{\mu_{2}^{*}}{I_{2} - Y_{2}} \Big| \frac{\mu_{3\gamma}^{*}}{I_{3} - Y_{3}}\right) \cdot (14, 13)$$

И в этом случае легко определить ξ_3 для каждого частного случая, рассматривая высшие собственные состояния.

§ 15. ТЕОРЕМА ВИГНЕРА — ЭККАРТА

Для группы SU (3) можно также установить теорему Вигнера — Эккарта ¹⁴. Эта теорема относится к матричному элементу ($\phi_{v_3}^{(\mu_3)}$, $T_{v_2}^{(\mu_2)}$ $\phi_{v_1}^{(\mu_1)}$) неприводимого тензорного оператора $T_{v_2}^{(\mu_2)}$ между двумя базисными состояниями данного НП $\phi_{v_1}^{(u_1)}$ и $\phi_{v_3}^{(\mu_3)}$. Эта теорема утверждает:

$$(\varphi_{\nu_{3}}^{(\mu_{3})}, \ T_{\nu_{2}}^{(\mu_{2})} q_{\nu_{1}}^{(\mu_{1})}) = \sum_{\nu} \begin{pmatrix} \mu_{1} \ \mu_{2} \ \mu_{3\gamma} \\ \nu_{1} \ \nu_{2} \ \nu_{3} \end{pmatrix} (\mu_{3} + T^{(\mu_{2})} + \mu_{1})_{\gamma}. \tag{15.1}$$

Здесь пужно суммировать по всем у. Правая часть поэтому содержит столько членов, сколько раз данное ИП $\{\mu_3\}$ содержится в произведении $\{\mu_1\} \otimes \{\mu_2\}$. Содержание теоремы, выражаемой формулой (15,1), состоит в том, что она определяет зависимость матричного элемента от v_1 , v_2 и v_3 . Одновремение формула (15,1) служит определением приведенных матричных элементов $(\mu_3 \mid_1 T^{(\mu_2)} \mid\mid \mu_1)$ у.

делением приведенных матричных элементов ($\mu_3 \mid_1 T^{(\mu_2)} \mid\mid \mu_1$) γ . Мы можем доказать эту теорему следующим образом. Из формул (13,4) и (13,9) следует

$$(\phi_{\mathbf{v}_3}^{(\mu_3)},\ T_{\mathbf{v}_2}^{(\mu_2)}\phi_{\mathbf{v}_1}^{(\mu_1)}) = \sum_{\lambda_1\lambda_2\lambda_3} D_{\mathbf{v}_3\lambda_3}^{(\mu_3)*} D_{\mathbf{v}_2\lambda_2}^{(\mu_2)} D_{\mathbf{v}_1\lambda_1}^{(\mu_1)} \ (\phi_{\lambda_3}^{'(\mu_3)},\ T_{\lambda_2}^{'(\mu_2)}\phi_{\lambda_1}^{'(\mu_1)}).$$

Используя свойства функции D (13,7), получим

$$(\phi_{\mathbf{v_3}}^{(\mu_3)}, \ T_{\mathbf{v_2}}^{(\mu_2)} \ \phi_{\mathbf{v_1}}^{(\mu_1)}) = \sum_{\substack{\lambda_1 \lambda_2 \lambda_3 \\ \mu \nu \lambda \nu}} D_{\mathbf{v_3} \lambda_3}^{(\mu_3)*} \ \left(\begin{array}{ccc} \mu_1 & \mu_2 & \mu_\gamma \\ \nu_1 & \nu_2 & \nu \end{array} \right) \left(\begin{array}{ccc} \mu_1 & \mu_2 & \mu_\gamma \\ \lambda_1 & \lambda_2 & \lambda \end{array} \right) D_{\mathbf{v} \lambda}^{(\mu)} \ (\phi_{\lambda_3}^{\prime(\mu_3)}, \ T_{\lambda_2}^{\prime(\mu_2)} \phi_{\lambda_1}^{\prime(\mu_1)}).$$

Матричные элементы не зависят от нашего выбора координатной системы, поэтому они не зависят от восьми вещественных параметров преобразования α_1,\ldots,α_8 . И мы можем провести интегрирование по $d\Omega$. Используя (13,6), получим

$$(\phi_{v_3}^{(\mu_3)},\ T_{v_2}^{(\mu_2)}\phi_{v_1}^{(\mu_1)}) = \sum_{\nu} \left(\begin{matrix} \mu_1 & \mu_2 & \mu_{3\gamma} \\ v_1 & v_2 & v_3 \end{matrix} \right) \frac{1}{N_3} \sum_{\lambda_1 \lambda_2 \lambda_3} \left(\begin{matrix} \mu_1 & \mu_2 & \mu_3 \\ \lambda_1 & \lambda_2 & \lambda_3 \end{matrix} \right) (\phi_{\lambda_3}^{(\mu_3)},\ T_{\lambda_2}^{(\mu_2)}\phi_{\lambda_1}^{(\mu_1)}).$$

Это можно записать в форме теоремы Вигнера — Эккарта (15,1), если ввести определение

$$(\mu_3 \parallel T^{(\mu_2)} \parallel \mu_1)_{\gamma} = \frac{1}{N_3} \sum_{\lambda_1 \lambda_2 \lambda_3} \begin{pmatrix} \mu_1 & \mu_2 & \mu_{3\gamma} \\ \lambda_1 & \lambda_2 & \lambda_3 \end{pmatrix} (\varphi_{\lambda_3}^{(\mu_3)}, T^{(\mu_2)}_{\lambda_2} \varphi_{\lambda_1}^{(\mu_1)}).$$

Приведенный матричный элемент, очевидно, не зависит от квантовых чисел v_1 , v_2 и v_3 .

§ 16. ФОРМУЛА МАСС

Мы рассмотрим здесь частный случай формулы масс для октета (НП $\{8\}$). Рассмотрение любого другого НП может быть сделано тем же способом. В октетной модели предполагается, что наиболее сильные взаимодействия инвариантны относительно преобразований, принадлежащих к группе SU(3). При отсутствии других

взаимодействий все частицы, принадлежащие к одному и тому же $1111\ SU$ (3), имели бы одинаковую массу, массу упитарпого мультиплета. Симметрия этих наиболее сильных взаимодействий (упитарпая симметрия) парушается пекоторым пеизвестным более слабым взаимодействием таким образом, что остаются сохраняющимися пзоспин І и заряд У. Под действием этого нарушающего унитарную симметрию взаимодействия снимается вырождение масс частиц, принадлежащих к одному и тому же унитариому мультиплету. Если предположить простейшую форму взаимодействия, нарушающего унитариую симметрию, то можно получить формулу масс Окубо 10 *) для фермионов и бозонов **)

$$M = M_0 + M_1 Y + M_2 \left\{ I(I - 1) - \frac{1}{4} Y^2 \right\} , \qquad (16.1)$$

$$m^2 = m_0^2 - m_2^2 \left\{ I(I+1) - \frac{1}{4}Y^2 \right\}$$
 (16,2)

Эти формулы дают соотношение масс Гелл-Манна — Окубо

$$M_{N^{-1}}M_{\Xi} = \frac{3}{2}M_{\Lambda} - \frac{1}{2}M_{\Sigma},$$
 (16,3a)

$$m_{\tilde{\Lambda}}^2 = \frac{3}{4} m_{\tilde{\eta}}^2 + \frac{1}{4} m_{\tilde{\pi}}^2,$$
 (16,36)

$$m_{\tilde{h}\,\star}^2 = \frac{3}{4} m_{\omega}^2 - \frac{1}{4} m_{\tilde{\rho}}^2.$$
 (16,3a)

Соотношения (16,3а) и (16,3б) очень хорошо выполняются; соотношение (16,3в), одна-

ко, выполняется не так хорошо.

Электромагнитное взаимодействие должно быть введено таким образом, чтобы T_3 и Y по-прежнему сохранялись. Это взаимодействие приводит к различно масс разных членов одного и того же изомультиплета. Если учесть электромагнитное взаимодействие, но препебречь неизвестным взаимодействием, нарушающим унитарную симметрию, то можно вывести соотношение между разностями масс членов изомультиплетов, входящих в один и тот же упитарный мультиплет. Для барионов получаем

$$M(\Xi^{0}) - M(\Xi^{-}) - M(p) - M(n) = M(\Sigma^{+}) - M(\Sigma^{-}).$$
 (16,4)

Это соотношение также выподняется очень хорошо ***). Мы видели, что при включении более слабого взаимодействия, нарушающего симметрию, унитарные мультиплеты расщепляются на изомультиплеты. Так как нарушение унитарной симметрии должно происходить так, чтобы сохранить правило отбора для изосиина и гиперзаряда, то всякий массовый оператор должен иметь вид

$$O_4 = \sum_{\mu} T_{0,0,0}^{(\mu)}, \tag{16,5}$$

где суммирование проводится по всем физически допустимым ПП группы SU (3), так что ****) μ =1,8,27 и т. д. Парушение симметрии, вызываемое электромагнитным взаимодействием, должно быть таким, чтобы оставались сохраняющимися T_3 и Y. Наиболее общий оператор *****) 27 , удовлетворяющий этому, будет

$$O_2 = \sum_{\mu, I} T_{I, 0, 0}^{(\mu)}. \tag{16.6}$$

 $m^2 \phi$ ϕ , а в лагранжиан фермионов в виде $M \bar{\chi} \chi$. **) Заметим, что для бозопов линейный член Y не может входить в формулу

$$M(\Xi^{-})-M(\Xi^{0})=6,1\pm1,6~M_{28},$$

в то время как $M(\Sigma^{+}) - M(\Sigma^{+}) - M(n) + M(p) - 6.7 \pm 0.4$ Мэв. (Прим. перев.)

^{*)} То, что для фермионов в формулу (16,1) должна входить первая степень массы, а для бозонов в (16,2) квадрат массы, по-видимому, впервые было предложено Фейиманом. Это связано с тем, что в лагранжнан бозонов массовый член входит в виде

масс.
***) Недавние измерения (D. Carmony et al., Phys. Rev. Letts. 12, 482 (1964)) дают

^{****)} Неприводимые представления $\{10\}$ и $\{10*\}$ пе содержат состояний с I= $=I_z=\stackrel{\prime}{Y}=0$. ****) Аналогичные результаты можно найти в статье 27 .

где μ пробегает всевозможные НП и I принимает все значения внутри данного НП. совместимые со значением Y=0. Заметим, что оператор O_1 является частным случаем оператора O_2 . Таким образом, общий вид массового оператора

$$\frac{M}{m^2} \right\} = \sum_{\mu, I} T_{I, 0, 0}^{(\mu)}, \tag{16.7}$$

где M — массовый оператор для фермионов, а m^2 — для бозонов. Для НП $\{8\}$ отличные от нуля средние значения дают лишь неприводимые тензорные операторы, принадлежащие к НП $\{1\}$, $\{8\}$, $\{10\}$, $\{10^*\}$ и $\{27\}$. Поэтому если мы ограничимся только теми операторами в (16,7), которые сохраняют полный спин I, то

$$M$$
 (или m^2) $T_{0,0,0}^{(1)} + T_{0,0,0}^{(8)} + T_{0,0,0}^{(27)}$ (16,8)

Используя теорему Вигнера — Эккарта (15,1), мы получим для масс изомультипле тов барионов:

$$\begin{split} &M_{N}=a_{1}-\frac{\sqrt{5}}{10}\,a_{8_{1}}-\frac{1}{2}\,a_{8_{2}}+\frac{1}{3\,\sqrt{5}}\,a_{27},\\ &M_{\Xi}=a_{1}-\frac{\sqrt{5}}{10}\,a_{8_{1}}-\frac{1}{2}\,a_{8_{2}}+\frac{1}{3\,\sqrt{5}}\,a_{27},\\ &M_{\Lambda}=a_{1}\,-\frac{\sqrt{5}}{5}\,a_{8_{1}}\,-\frac{1}{\sqrt{5}}\,a_{27},\\ &M_{\Sigma}=a_{1}\,-\frac{\sqrt{5}}{5}\,a_{8_{1}}\,-\frac{1}{9\,\sqrt{5}}\,a_{27}, \end{split}$$

где

$$a_{\mu\nu} = (8 \mid T_{0,0,0,0}^{(\mu)} \mid | 8)_{\nu}.$$
 (16,10)

Мы имеем здесь четыре массы и четыре постоянные. Решая уравнение (16.9) относительно этих постоянных, получим

$$a_{1} = \frac{1}{8} (2M_{N} + 2M_{\Xi} \quad M_{\Lambda} + 3M_{\Sigma}),$$

$$a_{81} = \frac{1}{V_{5}} (3M_{\Sigma} - M_{\Lambda} - M_{N} - M_{\Xi}),$$

$$a_{81} = M_{N} - M_{\Xi},$$

$$a_{27} = -\frac{9}{8 V_{5}} (3M_{\Lambda} \quad M_{\Sigma} - 2M_{N} - 2M_{\Xi}).$$

$$(16.11)$$

Соотношение масс Гелл-Манна — Окубо (16,3) основывается на предположении о том, что разность масс преобразуется как $T_{0,0,0}^{(8)}$, т. е. $a_{27}=0$. Практически это условие довольно хорошо удовлетворяется, так как *) 28 , 29 , 30 $a_1=1150,84$ M_{26}/c^2 , $a_{81}=91,34$ M_{26}/c^2 , $a_{82}=-379,54$ M_{26}/c^2 и $a_{27}=11,9$ M_{26}/c^2 .

$$\begin{split} &M_{p} = 938,21 \ \pm 0,01 \ M \text{se/c}^{2}, \\ &M_{n} = 939,51 \ \pm 0,01, \\ &M_{\Lambda} = 1115,36 \pm 0,14, \\ &M_{\Sigma^{+}} = 1189,40 \pm 0,20, \\ &M_{\Sigma0} = -1191,5 \ \pm 0,5, \\ &M_{\Sigma^{-}} = 1195,96 \pm 0,30, \\ &M_{\Xi0} = 1315,8 \ \pm 0,8, \\ &M_{\Xi^{-}} = 1321,0 \ \pm 0,5. \end{split}$$

Первые шесть значений взяты из таблицы Баркасс и Розенфел да (Berkeley, 19 0). Масса Ξ^- -гиперона из работы 29 , а масса Ξ^0 — из 30 .

^{*)} Мы используем здес следующие значения для масс:

Формула для электромагнитных разностей масс может быть получена путем введения таких операторов $T_{1,0,0}^{(\mu)}$, которые явпо нарушают сохранение изотопического спина. Поэтому

$$T = T_{1,0,0}^{(8)} + T_{1,0,0}^{(10)} + T_{1,0,0}^{(10*)} + T_{1,0,0}^{(27)} - T_{1,0,0}^{(27)} - T_{2,0,0}^{(27)}$$

Мы получим

$$\begin{split} &M_{p} = M_{N} + \frac{\sqrt{45}}{90} (9b_{8_{1}} - 4b_{27}) + \frac{1}{2\sqrt{3}} b_{8_{2}} - \frac{1}{\sqrt{45}} (b_{10} - b_{10}^{*}), \\ &M_{n} - M_{N} - \frac{\sqrt{45}}{90} (9b_{8_{1}} - 4b_{27}) - \frac{1}{2\sqrt{3}} b_{8_{2}} + \frac{1}{\sqrt{15}} (b_{10} - b_{10}^{*}), \\ &M_{\Xi 0} = M_{\Xi} - \frac{\sqrt{15}}{90} (9b_{8_{1}} - 4b_{27}) + \frac{1}{2\sqrt{3}} b_{8_{2}} - \frac{1}{\sqrt{15}} (b_{10} - b_{10}^{*}), \\ &M_{\Xi} - M_{\Xi} + \frac{\sqrt{15}}{90} (9b_{8_{1}} - 4b_{27}) - \frac{1}{2\sqrt{3}} b_{8_{2}} - \frac{1}{\sqrt{15}} (b_{10} - b_{10}^{*}), \\ &M_{\Lambda} = M_{\Lambda}, \\ &M_{\Lambda} = M_{\Lambda}, \\ &M_{\Sigma^{0}} = M_{\Sigma} + \frac{4}{9} c_{27}, \\ &M_{\Sigma^{+}} = M_{\Sigma} - \frac{2}{9} c_{27} - \frac{1}{\sqrt{3}} l_{8_{2}} - \frac{1}{\sqrt{15}} (b_{10} - b_{10}^{*}), \\ &M_{\Sigma} - M_{\Sigma} - \frac{2}{9} c_{27} - \frac{1}{\sqrt{3}} b_{8_{2}} - \frac{1}{\sqrt{15}} (b_{10} - b_{10}^{*}), \end{split}$$

где

и

$$\begin{array}{c}
b_{\mu_{\gamma}} = (8 \parallel 7_{1, 0, 0}^{(\mu)} \parallel 8)_{\gamma}, \\
C_{\mu_{\gamma}} = (8 \parallel 7_{2, 0, 0}^{(\mu)} \parallel 8)_{\gamma}.
\end{array} \}$$
(16,13)

Из (16,12) видно, что мы имеем по существу четыре произвольные постоянные () $b_{81}-4b_{27}$), (b_{82}), ($b_{10}-b_{10}*$) п C_{27} . Однако имеется также только четыре независимые разности масс

$$(M_n - M_p), (M_{\Sigma^+} - M_{\Sigma}), (M_{\Xi^0} - M_{\Xi})$$

И

$$\left[\begin{array}{cc} M_{\Sigma 0} - \frac{1}{2} \left(M_{\Sigma} - M_{\Sigma} \right) \end{array}\right].$$

Соотношение (16,4) между электромагнитными разностями масс можно получить, предположив, что $b_{10} - b_{10} * = 0$. Из экспериментального значения масс *) получается

$$b_{81} - \frac{4}{9} b_{27} - (2.52 \pm 0.7) M_{sh} \epsilon^2, \ b_{81} = 22.6 M_{9\theta}/\epsilon^2,$$

 $b_{10} - b_{10} * - (-0.12 \pm 0.6) M_{sh} \epsilon^2.$

Для векторных мезонов используем значения масс 31

$$m_{\omega} = 782 \text{ Mas } c^2,$$

 $m_{\phi} = 750 \text{ Mas/}\epsilon^2.$

^{*)} См. примечание на стр. 672.

Из (16,3в) получаем $m_{K^+}=774~M_{26}/c^2$. Известно, что существуют два резонанса K^* , один 6 при 888 M_{26}/c^2 , другой 5 при 730 M_{26}/c^2 . Оба эти значения не очень близки к 774 M_{26}/c^2 . Однако перепишем уравнение (16,9) для векторных мезонов. Имеем

где

$$m_0^2 = a_1, \quad m_1^2 = \frac{\sqrt{5}}{10} a_{8_1}, \quad m_2^2 = -\frac{1}{9\sqrt{5}} a_{27} \text{ if } a_{8_2} = 0.$$

Предположение, сделанное Окубо 10 для того, чтобы получить (16,2), состояло в том, что он положил $m_2^2=0$. Мы можем с той же степенью произвольности положить $m_1^2=0$. Это приводит к соотношению масс

$$m_{\rm A}^2 := \frac{3}{2} m_{\rho}^2 + \frac{1}{2} m_{\omega}^2.$$
 (16.15)

Эта формула предсказывает резонанс K^* при 773 $M_{\partial\theta}/c^2$, что близко к наблюденному значению $(K|\pi)$ -резонанса 730 $M_{\partial\theta}/c^2$. Это может означать, что разлости масс для октета векторных мезонов преобразуются не по представлению $\{8\}$, а по представлению $\{27\} = D$ (2,2).

другое объяснение 32 состоит в том, что мезон ω не принадлежит к векториому октету, а является унитарным синглетом. Векторный октет состоит из мезонов ϱ , K^* 888 $M_{^{26}/\epsilon^2}$) и еще одног о векторного мезона со значением I=0. Соотношение масс (16,3в) приводит к $m_{\psi}^2 = \frac{4}{3} m_{K^+}^2 - \frac{1}{3} m^2$ или $m_{\psi} = 927 \ M_{^{26}/\epsilon^2}$. Благодаря наличию ω -мезона с почти той же массой и такими же квантовыми числами, как у φ -мезона, этот уровень смещается, так что возможно, что φ -мезон представляет собой резонанс 33 1020 $M_{^{26}}$ в $K\bar{K}$ -системе.

§ 17. ВЗАИМОДЕЙСТВИЯ ЮКАВЫ

В модели унитарной симметрии сильных взаимодействий предсказывается весьма определенное соотношение между константами взаимодействия мезонов с барионами. Мы ограничимся здесь взаимодействием типа Юкавы между октетом барионов и октетом псевдоскалярных мезонов. Обобщения на другие взаимодействия очевидиы. В пространстве унитарного спина мы определяем волновую функцию барионов В и волновую функцию мезонов М.

Мы примем следующие обозначения *):

$$B_1 - p$$
, $M_1 - K^-$, $B_2 - n$, $M_2 - K^0$, $B_3 - \Sigma^-$, $M_3 - -\pi^+$, $B_4 - \Sigma^0$, $M_4 - \pi^0$, $B_5 - \Sigma^-$, $M_5 - \pi^-$, $B_6 - \Lambda$, $M_6 - \eta$, $B_7 - \Xi^0$, $M_7 - K^0$, $B_8 - \Xi^-$, $M_8 - K^-$.

Античастицы относятся к сопряженному представлению; так как в случае мезонов представления для частиц и античастиц эквивалентны, пеобходимо аккуратно следить за выбором фаз. Заметим, что приведенные выше обозначения для мезонов согласуются с фазовыми условиями (8,2) и (8,3) для сопряженного представления.

^{*)} Мы обозначаем $B_3=-\Sigma^+$ по аналогии с $M_3=-\pi^+$. Это дает $\Sigma\pi==\Sigma^+\pi^-+\Sigma^0\pi^0+\Sigma^-\pi^+$.

С темп же условиями волновые функции антибарионов B^+ имеют следующий вид:

$$B_{1}^{+} = -(\Xi^{-})^{+}, \qquad B_{3}^{+} = -(\Sigma^{-})^{+}, B_{2}^{+} = (\Xi^{0})^{+}, \qquad B_{1}^{-} = (\Sigma^{0})^{+}, B_{7}^{+} = n^{+}, \qquad B_{5}^{+} = (\Sigma^{+})^{+}. B_{8}^{+} = -p^{+}, \qquad B_{6}^{+} = \Lambda^{+}.$$

$$(17,2)$$

Мы выберем лаграпжиан взапмодействия типа Юкавы в следующем виде:

$$L_{\rm B3} = -g (B + B) M.$$

Лагранжиан должен представлять собой унитарный синглет, т. е. принадлежать к НП $\{4\}$. Мезоны преобразуются по НП $\{8\}$. Для сохранения унитарной симметрии величина (ток) J=B+B должна также преобразовываться по НП $\{8\}$. Однако существуют две возможности образования унитарного синглета из представлений $\{8\} \otimes \{8\}$ и $\{8\}$. Два возможных тока $J^{(1)}$ и $J^{(2)}$ даются формулой

$$J_{\mathbf{v}}^{(\gamma)} = \sum_{\mathbf{v}_1 \mathbf{v}_2} \begin{pmatrix} 8 & 8 & 8_{\gamma} \\ \mathbf{v}_1 & \mathbf{v}_2 & \mathbf{v} \end{pmatrix} B_{\mathbf{v}_1}^{+} B_{\mathbf{v}_2}. \tag{17,3}$$

Таким образом, лагранжиан взаимодействия имеет вид

$$L_{\rm B2} = -(g_1 J^{(1)} + g_2 J^{(2)}) M - JM, \tag{17.4}$$

где

$$JM = \sum_{v} \begin{pmatrix} 8 & 8 & 1 \\ v & -v & 0 \end{pmatrix} J_{v} M_{-v}. \tag{17.5}$$

Вводя константы

$$g_p = \left(\frac{\sqrt{30}}{40}\right) g_1 - \left(\frac{\sqrt{6}}{24}\right) g_2.$$
 (17,6)

$$\alpha = \left(\frac{\sqrt{6}}{24}\right) \left(\frac{g_2}{g_p}\right), \tag{17.7}$$

мы можем записать лагранжиан взаимодействия в следующем виде:

$$L_{\text{B3}} = g_{NN_{\pi}} \left(N_{1}^{+} \tau N_{1} \right) \pi^{-1} g_{\Xi\Xi_{\pi}} \left(N_{2}^{+} \tau N_{2} \right) \pi + g_{\Lambda\Sigma_{\pi}} \left(\Lambda^{-} \Sigma^{-} \Sigma^{+} \Lambda \right) \pi + i g_{\Sigma\Sigma_{\pi}} \left(\Sigma^{+} \times \Sigma \right) \pi + \\ = g_{NN_{\eta}} \left(N_{1}^{+} N_{1} \right) \eta^{-1} g_{\Xi\Xi_{\eta}} \left(N_{2}^{+} N_{2} \right) \eta^{-1} g_{\Lambda\Lambda_{\eta}} \left(\Lambda^{+} \Lambda \right) \eta + g_{\Sigma\Sigma_{\eta}} \left(\Sigma^{+} \Sigma \right) \eta^{-1} \\ = g_{N\Lambda h} \left\{ \left(N_{1}^{+} K \right) \Lambda^{-} \Lambda^{+} \left(K^{+} N_{1} \right) \right\} + g_{\Xi\Lambda h} \left\{ \left(N_{2}^{+} \Lambda_{c} \right) \Lambda^{-} \Lambda^{+} \left(K_{c}^{+} N_{2} \right) \right\} - \\ + g_{N\Sigma K} \left\{ \Sigma^{+} \left(\Lambda^{+} \tau N_{1} \right) + \left(N_{1}^{+} \tau \Lambda \right) \Sigma \right\} + g_{\Xi\Sigma h} \left\{ \Sigma^{+} \left(K_{c}^{+} \tau N_{2} \right) - \left(N_{2}^{+} \tau K_{c} \right) \Sigma \right\}, \tag{17.8}$$

где

$$g_{NV_{\pi}} = g_{p}, \ g_{\Xi\Xi_{\pi}} = -g_{p} (1 - 2\alpha_{p}),$$

$$g_{\Lambda\Sigma_{\pi}} = \frac{2}{3} V 3 g_{p} (1 - \alpha_{p}), \ g_{\Sigma\Sigma_{\pi}} = 2g_{p} \alpha_{p},$$

$$g_{NN_{\eta}} = \frac{1}{3} V \bar{3}g_{p} (4\alpha_{p} - 1),$$

$$g_{\Xi\Xi_{\eta}} = -\frac{1}{3} V 3g_{p} (1 + 2\alpha_{p}),$$

$$g_{\Sigma\Sigma_{\eta}} = \frac{2}{3} V 3g_{p} (1 - \alpha_{p}), \ g_{\Lambda\Lambda_{\eta}} = \frac{2}{3} V 3g_{p} (1 - \alpha_{p}),$$

$$g_{N\Lambda K} = -\frac{1}{3} V 3g_{p} (1 - 2\alpha_{p}),$$

$$g_{\Xi\Lambda K} = \frac{1}{3} V \bar{3} g_{p} (4\alpha_{p} - 1), \ g_{N\Sigma K} = g_{p} (1 - 2\alpha_{p}),$$

$$g_{\Xi\Sigma K} = -g_{p}.$$

$$(17,9)$$

Здесь мы использовали обозначения:

$$N_1 = \begin{pmatrix} p \\ n \end{pmatrix}$$
, $N_2 = \begin{pmatrix} \Xi^0 \\ \Xi^- \end{pmatrix}$, $K = \begin{pmatrix} K^+ \\ K^0 \end{pmatrix}$, $K_c = \begin{pmatrix} \overline{K}^0 \\ -K^- \end{pmatrix}$; (17,10)

 Λ , Σ , π и η для изоспиновых волновых функций частиц. Для того чтобы проиллюстрировать дальнейшее, мы рассмотрим более подробно взаимодействие η -мезона с барионами. Мы имеем $\eta=M_6$. Уравнения (17,4), (17,5) и (14,10) дают

$$L_{\rm B3} = \frac{1}{2 V 2} J_6 M_6.$$

Используя изоскалярные факторы из табл. И, получим

$$\begin{split} J_{6}^{(1)} &= \frac{1}{2\sqrt{5}} \{B_{1}^{+}B_{8} - B_{8}^{+}B_{1} - B_{2}^{+}B_{7} - B_{7}^{+}B_{2}\} - \\ &- \frac{1}{\sqrt{5}} \{B_{3}^{+}B_{5} - B_{4}^{+}B_{4} + B_{5}^{+}B_{3}\} - \frac{1}{\sqrt{5}} B_{6}^{+}B_{6} = \\ &= -\frac{1}{2\sqrt{5}} \{(\Xi^{-})^{+}\Xi^{-} + p^{+}p + (\Xi^{0})^{+}\Xi^{0} + n^{+}n\} + \\ &+ \frac{1}{\sqrt{5}} \{(\Sigma^{-})^{+}\Sigma^{-} + (\Sigma^{0})^{+}\Sigma^{0} + (\Sigma^{+})^{+}\Sigma^{+}\} - \frac{1}{\sqrt{5}} \Lambda^{+}\Lambda - \\ &= -\frac{1}{2\sqrt{5}} \{N_{1}^{+}N_{1}^{-} + N_{2}^{+}N_{2}\} + \frac{1}{\sqrt{5}} \{\Sigma^{+}\Sigma - \Lambda^{+}\Lambda\} \end{split}$$

И

$$J_{6}^{(2)} = \frac{1}{2} \left\{ B_{1}^{+} B_{8} - B_{8}^{+} B_{1} - B_{2}^{+} B_{7} + B_{7}^{+} B_{2} \right\} = \frac{1}{2} \left\{ N_{1}^{+} N_{1} - N_{2}^{+} N_{2} \right\}.$$

Таким образом, используя (17,6), (17,7) и (17,9), получим

$$\begin{split} J_{6} &= g_{1}J_{6}^{(1)} + g_{2}J^{(2)} = 2 \, \sqrt{2} \, \bigg[\, \bigg(\, -\frac{g_{1}}{4 \, \sqrt[4]{10}} \, + \frac{g_{2}}{4 \, \sqrt{2}} \bigg) \, N_{1}^{+} N_{1} - \\ & - \bigg(\, -\frac{g_{1}}{4 \, \sqrt[4]{10}} - \frac{g_{2}}{4 \, \sqrt[4]{2}} \bigg) \, N_{2}^{+} N_{2} - \frac{1}{2 \, \sqrt[4]{10}} \, g_{1} \, (\mathbf{\Sigma}^{+} \mathbf{\Sigma} - \Lambda^{+} \Lambda) \, \bigg] = \\ &= 2 \, \sqrt{2} \, \bigg[\, \frac{1}{3} \, \sqrt[4]{3} \, g_{p} \, (4\alpha_{p} - 1) \, N_{1}^{+} N_{1} - \frac{1}{3} \, \sqrt[4]{3} \, g_{p} \, (1 - 2\alpha_{p}) \, N_{2}^{+} N_{2} - \\ & - \frac{2}{3} \, \sqrt[4]{3} g_{p} \, (4 - \alpha_{p}) \, (\mathbf{\Sigma}^{+} \mathbf{\Sigma} - \Lambda^{+} \Lambda) \, \bigg] = \\ & - 2 \, \sqrt{2} \, (g_{NN_{p}} N_{1}^{+} N_{1} + g_{\Xi\Xi_{p}} N_{2}^{+} N_{2} + g_{\Sigma\Sigma_{p}} \mathbf{\Sigma}^{+} \mathbf{\Sigma} + g_{\Lambda N_{p}} \Lambda^{+} \Lambda) \end{split}$$

Это приводит непосредственно к лагранжиану взаимодействия (17,8). Экспериментально известно очень хорошо постоянная 34 g_{NN_π} , а относительно постоянных $g_{\Lambda\Sigma_\pi}$ и $g_{\Sigma\Sigma_\pi}$ имеются только некоторые весьма грубые представления. Это определяет малость α_p 35 ; по-видимому 36 , $\alpha_p{\sim}^{1/_4}$. Формула типа (17,8) описывает также взаимодействие векторных мезонов с барионами. Мы должны сделать замену $\pi \to \varrho$, $\eta \to \omega$ (или φ), $K \to \Lambda^*$ и $K_c \to \Lambda_c^*$.

Однако мы имеем в этом случае две константы связи $g_v^{(e)}$ и $g_r^{(m)}$ и два коэффициента $\alpha_r^{(c)}$ и $\alpha_r^{(m)}$ для связи магнитного или электрического типа.

В случае, если мезон ф является упитарным синглетом, лагранжиан взаимодействия этого мезона с октетом барпонов имеет вид

$$L_{\rm B,s} = g \{ N_1^+ N_4^- \mid \Lambda^+ \Lambda^- - \Sigma^+ \Sigma + N_2^+ N_2 \} \, \varphi.$$
 (17,11)

Весьма изящный частный случай взаимодействия октета векторных мезонов с октетом барионов получится, если положить $a_b^{(e)}-1$. Мы восстановим тогда универсальное взаимодействие принадлежащих к унитариому октету векторных мезонов: ϱ -мезона (I=4) с изоспиновым током и ω (или φ)-мезона (I=0) с гиперзарядовым током, как и предполагалось Сакураи 37 . Унитарно синглетный векторный мезон имеет универсальное взаимодействие с барионным током.

§ 18. ТАБЛИЦА ИЗОСКАЛЯРНЫХ ФАКТОРОВ

В табл. I—VI представлены изоскалярные факторы для следующих случаев:

$$\{8\} \otimes \{8\}^{-} \{27\} \oplus \{10\} \oplus \{10^{4}\} \oplus \{8\}_{1} \oplus \{8\}_{2} \oplus \{1\},$$

$$\{8\} \otimes \{10\} = \{35\} \oplus \{27\} \oplus \{10\} \oplus \{8\},$$

$$\{8\} \otimes \{27\} = \{64\} \oplus \{35\} \oplus \{35^{*}\} \oplus \{27\}_{1} \oplus \{27\}_{2} \oplus \{10\} \oplus \{10^{*}\} \oplus \{8\},$$

$$\{10\} \otimes \{10\} = \{35\} \oplus \{28\} \oplus \{27\} \oplus \{10^{*}\},$$

$$\{10\} \otimes \{10^{*}\} = \{64\} \oplus \{27\} \oplus \{8\} \oplus \{1\}.$$

При помощи свойств симметрии (14,3), (14,9) и (14,13) эти таблицы могут быть несколько расширены. В действительности уже некоторые данные, вошедине в таблицы, можно было получить при помощи формул (14,3), (14,9) или (14,13) из других частей таблиц. Однако нам казалось, что опустив эти числа, мы создали бы пеудобства пользования таблицами. В табл. 1 приводятся для некоторых случаев фазовые множители ξ_1 , ξ_2 и ξ_3 , что должно облегчить расширение таблицы изоскалярных факторов для этих случаев.

Таблица I Фазовые множители, которые падо применять в формулах (14,1), (14,3), (14,8), (14,9), (14,12) и (14,13)

րլ	μ2	μз	Ę1	رځ	Ę3	µ1	μ2	μз	ξ 1	\$ 2	รัส
8	8	27 10 10* 8 ₁	1 -1 -1 1	-1 1 1	1 1 1	8	10*	35* 27 • 10* 8	1 -1 -1 1	-1 -1 -1 -1	1 -1 -1
8	10	8 ₁ 8 ₂ 1 35 27 10	1 1 1	1 1 1 1	1 1 1	10	10	28 35 27 10*	$-\frac{1}{1}$	1 -1 1 -1	1 1 1
		8 64 35	-1 1 -1	-1 1 -1 -1	-1 -1 1	10	10*	64 27 8 1	1 1 1 1	1 1 1 1	1 -1 1 -1
8	27	35* 27 ₁ 27 ₂ 10 10*	1 1 1 1	1 -1 -1 -1	1 -1 -1 -1	10*	10*	28* 35* 27 10	1 1 1 1	-1 -1 -1 -1	1 1 1 1
\		8	1	1	1	 					

дж

ДЕ СВАРТ

$$\begin{pmatrix} 8 & 8 & \mu_{\gamma} \\ I_1Y_1 & I_2Y_2 & IY \end{pmatrix}$$
 для КГ-ряда $\{8\} \otimes \{8\} = \{27\} \oplus \{10\} \oplus \{10^*\} \oplus \{8\}_1 \oplus \{8\}_2 \cap \{1\}.$ V

Y = 2, I = 1

 I_1 . Y_1 ; I_2 , Y_2 | 27 μ_{γ}

$$Y - 1, I = \frac{2}{3}$$

 $I_1, \quad Y_1, \quad I_2, \quad Y_2 \quad | \quad 27$ μ_{γ}

 $Y = 1, I = \frac{1}{2}$

 $I_1, Y_1; I_2, Y_2 = 27$ 8_1 8_2 $40* + \mu_7$ $\frac{1}{2}$, 1; 1, 0 | $\sqrt{5}$ 10 3 $\sqrt{5}$ 10 1 2 -1 2 1, 0; $\frac{1}{2}$, 1 $-\sqrt{5}$ 10 $-3\sqrt{5/10}$ 1/2 -1 2 $\frac{1}{2}$, 1; 0, 0 | 31 5,10 -1/5,10 1/2 1,2 0, 0; $\frac{1}{2}$ 1 3 $\frac{1}{5}$ 10 -1, $\frac{5}{10}$ -1/2

Y = 2, I = 0I, Y_1 ; I_2 , Y_2

Y = 0, I = 0

 $I_1, Y_1; I_2, Y_2$ μ_{γ}

> $Y = 1, I = \frac{3}{2}$ $\frac{1}{2}$, -1; 1, 0 $\sqrt{2/2}$

40

μγ

57

_
табл.
Φ
И
Ħ
0
Ξ
Ħ
0
Ц
0
ď
\Box

		O	ктет	РАНТ	мод	акај	эл
	μγ						
$Y = -1, I = \frac{1}{2}$	10	1/2	1/2	1/2	-1 2		
	82	1/2	1 /2	-1/2	5,		
	8, 82 10	$-3\sqrt{5}/10$	$V^{5/10} = 3V^{5/10} = 1.2$	$-1^{7}5/10$ $-1/2$	$-\sqrt{5/10}$ 1/2 -1 2		
	27				$3\sqrt{5}/10$		
	Y_2	0	1	0	7	-	
	I_2 ,	1,	~ ∫∾	0,	- ⁻ 2		
	I_1 , Y_1 ; I_2 , Y_2	-1;	0;	-1;	; ;		=
	I_1 ,	$\frac{1}{2}$, -1; 1, 0	1,	- ja	0,		10*
							*01 01
	μγ						œ
	27	1				Y 0, I -1	oč.
Y = 0, I = 2	i, I_2 , Y_2	0	l			}.	
Y = 0	I_2 ,	1,				,	27
ļ							_

		$Y_1, Y_1;$ $\frac{1}{2}, -1;$
	h h	
	10*	$\sqrt{6},6$ $-\sqrt{6},6$ $-\sqrt{6},6$ $-\sqrt{6},6$ $-\sqrt{1/2}$
	10	$ \frac{1}{6}6 $ $ \frac{1}{6}6 $ $ \frac{1}{2}6 $ $ \frac{1}{2} $
	82	$V^{6/6} - V^{6/6} - V^{6/3}$
2 0, 1 - 1	8,	$ \begin{array}{cccccccccccccccccccccccccccccccccccc$
~	27	$\begin{array}{c} 1\sqrt{5}/5 \\ 1\sqrt{5}/5 \\ 1\sqrt{5}/5 \\ 0 \\ 1/(3)/10 \\ 1/(3)/10 \end{array}$
	Y_2	000
	I_2 ,	+ 61 + 61 + 61 + 7 + 7 + 7 + 7 + 7 + 7 + 7 + 7 + 7 +
	I_1 , Y_1 ; I_2 ,	1; -1; 0; 0,
	I_1 ,	1, 1, 2, 1, 0, 0, °, °, °, °, °, °, °, °, °, °, °, °, °,

Изоскалярные факторы для {8} \otimes {10}. В таблице приведены изоскалярные факторы

$$\begin{bmatrix} 8 & 10 & \mu_{\gamma} \\ I_1Y_1 & I_2Y_2 & IY \end{bmatrix}$$

для КГ-ряда $\{8\} \otimes \{10\} = \{35\} \oplus \{27\} \oplus \{10\} \oplus \{8\}$.

	$\frac{1}{2}$,	1,	$\frac{3}{2}$,	1	1		
			Y=2	, I	Į		
	I_1 ,	Y ₁ ,	I_2 ,	Y_2^-	27	μ.,	
	$\frac{1}{2}$,	1,	$\frac{3}{2}$,	1	1		
			Y = 1	, <i>I</i> =	<u>5</u>		
į	$\overline{I_1}$,	Y 1	12,	\overline{Y}_2	_ 35	μ_{γ}	
	1,	0,	} <u>'</u>	1	1		
			Y 1	<i>I</i> =	3 2		
} ₁ ,	I_2	Y_2		35	27	10	μγ
0,	$\frac{\frac{3}{2}}{\frac{3}{2}},$	1	-	-1/4	$-\sqrt{5}/4$	$\sqrt{10}/4$	
0	$\frac{3}{2}$	1	V	5/4	-3/4	$-V\bar{2}/4$	
1,	1	0	V	$\overline{10}/4$	$\sqrt{2}/4$	1/2	

$I_1,$	Y ₁ ,	I_2	$Y_{\underline{2}}$	27	8 1	μ
1,	0,	$\frac{3}{2}$,	1	1/5/5	$ \begin{array}{c ccccccccccccccccccccccccccccccccccc$	
$\frac{1}{2}$	1,	1,	0	2) 5/5	$-V\bar{5}/5$	
				e0, I-2		_
I_1 ,	Y_1 .	I_2 ,	Y_2	35 	27	μγ
$\frac{1}{2}$,	0, —1,	$\frac{1}{3}$,	() 1	1 3 2 1 2	$\begin{bmatrix} 1 & 2 \\ -1/3 & 2 \end{bmatrix}$	

Ξ
и 9 и
Ta
не
н э
¥ 1
дод
1 o d
П

μ_{γ}	
27	$V^{3/2} = -1/2$
35	$\sqrt{\frac{1/2}{3}}$
Y_2	2 -1
I_2 ,	o,4134
I_1 , Y_1 ; I_2 , Y_2	$\frac{1}{2}$, -1 ,
I_1 ,	4-12

	μγ	
	10	7 2 2 7 7 7 7 7 7 7 7 7 7 7 7 7 7 7 7 7
-2, I=0	35	V 2/2 -V 2/2
YY	Y_2	73
!	I_2 ,	€ + 51
[1	Y_4 ;	0; 1
	1,	0,4[2
		_

	μ,	
←]21	35	Ħ
-3, I=	Y_2	75
Y = -	J_2 ,	0,
	A_1 :	1.
	I_1 ,	±[2]

	1	1
	μγ	
		10 10
	∞	-V 15/ -1 70/
Y=0, I=0	27	$\begin{array}{cccccccccccccccccccccccccccccccccccc$
\ \ \ \ \ \ \ \ \ \ \ \ \ \ \ \ \ \ \	Y_2	0 7
	I_1 , Y_1 ; I_2 , Y_2	<u> </u>
	$Y_1;$	0;
	I_1 ,	2, 1

μ				
8	V 5/5	-1/5/5	$\sqrt{10/5}$	$-\sqrt{5/5}$
10	V 2/4	$V^{2/4}$	1/2	$V^{\overline{2}/2}$
27	$-7\sqrt{5}/20$	$-3\sqrt{5}$ /20	$3\sqrt{10}/20$	V 5/10
35	-1/4	3/4		-1/2
Y_2	7	7	2	0
1	_ [2	-1/24	, Ó	1,
I_1 , Y_1 , I_2 ,	; °	0;	1;	-1;
I_1 ,	1,	0,	<u>- 1</u> 53	

Изоскалярные факторы для $\{8\} \otimes \{27\}$. В таблице приведены изоскалярные факторы $\begin{pmatrix} 8 & 27 & | \mu_{\gamma} \\ I_1Y_1 I_2Y_2 & | IY \end{pmatrix}$ для КГ-ряда $\{8\} \otimes \{27\} = \{64\} \stackrel{\mathcal{C}}{=} \{35\} \oplus \{35^*\} \stackrel{\mathcal{C}}{=} \{27\}_1 \oplus \{27\}_2 \oplus \{10\} \oplus \{40^*\} \stackrel{\mathcal{C}}{=} \{8\}.$

		Y = 3	$I = \frac{3}{2}$		
I_1 ,	Y ₁ ;	I_2 ,	Y_2	64	μγ
<u>1</u> ,	1,	1,	2	1	
					_

$$Y=3, I=\frac{1}{2}$$

$\frac{1}{2}$,	1,	1,	2	-1	
i				<u> </u>	

$$Y = 2, I = 2$$

 	I_1 ,	Y_1 ,	I_2 ,	Y_2	64	35	μγ
	$\frac{1}{2}$, 1,	1, 0,	$\frac{3}{2}$, 1,	1 2	$ \begin{array}{ccc} & \sqrt{6/3} \\ & \sqrt{3/3} \end{array} $	$-\sqrt{3}/3$ $\sqrt{6}/3$	

I_1 ,	$Y_1;$	I_2 ,	Y_2	64	35*	27_1	

I_1 ,	Y ₁ ;	I_2 ,	Y_2	64	35*	271	272	μγ
$\frac{1}{1}$,	1;	$\frac{3}{2}$,	1	 	− 2√3	$\sqrt{70/14}$	$\sqrt{6}/6$	
1,	0; 0,	1, 1,	2 2	$\begin{vmatrix} 2\sqrt{70} & 21 \\ -\sqrt{21}/21 \\ \sqrt{14} & 7 \end{vmatrix}$	$-\sqrt{6}/6$ $-1/2$	$-\sqrt{105}$ 14 $-\sqrt{70}$ 28	$\frac{1/2}{-1/6}$	

Y = 2, I = 1

$$Y - 1, I - \frac{5}{2}$$

I_1 ,	Y ₁ ;	I_2 ,	Y_2	64	35	μγ
$\frac{1}{2}$,	1;	2,	0	1 √3/3	$-\sqrt{6}/3$	
1,	0;	$\frac{3}{2}$,	1	$V\tilde{6}/3$	y ′ 3/3	

Продолжение табл. IV

	μ								μ						
	10	- 5/2 12	-, 5 12	98 9 12	1/3/9	1/30/12	-1 10/6		8	$2\sqrt{5/15}$	1 5/15	6/9/12	V $3\overline{0}$ /45	$-\sqrt{30}$ 15	-2/3
	272	$V^{10/8}$	V_10/8	8/08 1	0	—V 6/8	1.2/4		*())	-1,3	4/3	$-V^{30}$ 9	$98/9 M_2$	$-\sqrt{6}$ /12	$-\sqrt{5}/6$
	271	$5\sqrt{42}/56$	$-31^{-42/56}$	$-5\sqrt{14/56}$	$V\bar{7}/7$	$\sqrt{70}/56$	$-V$ $2\overline{10}/28$		272	1/2	1/2	0	1, <u>6</u> /8	$-\sqrt{6}/8$	$\sqrt{5/4}$
1 - 1, 1 - 2	35*	$-\sqrt{5}$ 6	$\sqrt{5}$, 6	$-\sqrt{15}$	V30/18	$-\sqrt{3}$ '3	-13	$Y-1, I=\frac{1}{2}$	271	$3\sqrt{105}$,70	$-\sqrt{105}/70$	$-\sqrt{14}/7$	$-49 \sqrt{70'280}$	$-13\sqrt{70}/280$	$-\sqrt{24/28}$
	35	-1/12	-5 12	$7\sqrt{3}/36$	5V6/18	$-V^{15/12}$	$V\bar{5}/6$.35*	$-\sqrt{10}/6$	$V^{ar{1}0,6}$	$V^{\overline{3}/9}$	$-5\sqrt{15/36}$	$-\sqrt{15}/12$	$\sqrt{2}/12$
	64	1/7/21	$5V\overline{7}$ 21	$-V$ $\overline{24}$, 63	$5\sqrt{42}/63$	$\sqrt{105}$, 21	$\sqrt{35/24}$		7,9	$V^{3\overline{5}/24}$	$2\sqrt{35}/21$	$-V \overline{42}/63$	-V 210/63	$\sqrt{240}$ /21	$-2\sqrt{7}/21$
	\sum_{2}	0	0			-	21		Y_2	0			- -	1	۵ı
[I_2 ,	2,	1,	w [5/	<u>- </u> 2	დ [71	1,		12,	1,	0,	လ (၁	- [n	- [≈	1,
	I_1 , Y_1 ;	1							I_1 , Y_1 ;	2 t 1;	$\frac{1}{2}$, 1;	1, 0;	1, 0;	0, 0;	1 <u>-</u> 1;

								!	=======================================							
			_						· · · · · · · · · · · · · · · · · · ·	6 1/	6,4	$2\sqrt{5}$ 45	$2\sqrt{5}/45$	$-2\sqrt{5/15}$		21/ 10/9
			μу							6	6				9	18
			272	1 2/4	$-\sqrt{2}/4$	0	7/e 1		10*	-1/5/9	$-24^{7}5/9$	6/5	1.9	-1/3	$\sqrt{6}$, 6	5 <i>V</i> 2/
			271	$-V$ 2 $\overline{10}$ /28	$-V$ $\overline{210}/28$	$\sqrt{24/14}$			10	$-2\sqrt{5/9}$	$-V^{5/9}$	-1/9	6/4,—	 	9/9/1	51/2/18
μ		-		·	·				272	1/30/12	$V^{30/12}$	$V^{6/6}$	991	00	1,2	0
4 ,9	T		35*	1/3/6	-V 3/3	$\sqrt{30/12}$	- 1 /2		, ,	87,	87	20	20	02.02	2 :	1.4
Y_2	0	Y = 0, I - 2			1			Y = 0, I = 1	27_1	31/14/28	$-3\sqrt{14'28}$	$-3\sqrt{70}/70$	$-3\sqrt{70}/70$	-V70/70		1 35/14
$Y_1; I_2,$	0; 2,	Y = (35	-37 3	V3 6	$\sqrt{\frac{30}{12}}$	$\frac{r}{r} \frac{2/4}{4}$	Y=	.955*	-5,18	1/9	$2\sqrt{5/9}$	$-Var{5}_{'}9$	-1/5/6	$-\overline{V}$ $\overline{30}/12$	10,36
I_1 ,	1,		64	$2\sqrt{24}/21$	$2\sqrt{21/24}$	$V\overline{210}/21$	$V\tilde{7}_{/7}$		35	-1/9	5/18	-V 5 9	21 5/9	1/56 21 55 6	V 30/12	7 IO 36
		!	Y_2	-1		c c		; † , †		99	55	~^			. :	ى ا
		'	I_2 ,	ත භ	ლ ഗ _	ء ب	, v,		64	$2\sqrt{35}$, 63	$2\sqrt{35},63$	$10\sqrt{7}$ 63	69/4/10	$V^{7/21}_{7/7}$		N 14/63
			Y_1 :		-1;	.; c						40	10	<u> </u>		_
			$I_1, $	1,2	- - -				Y_2	7	~	-	4	= =	. c :	0
									I_2 ,	້າ	ස [්] න •	 ∫~1	~ [~	, c		2j - -
								 	Y_1 ;	7;	1;;	7;	-1;	÷ :	; ; ;	ë,
								!	I_1 ,	-i2	- 121 '	~ [~	— 21 ,	, +	,,	,

>
_
-
Ċ
ಡ
\vdash
0
$\mathbf{\Xi}$
=
Φ
\mathbb{X}
۳
С
٦
0
Ç
=

										μγ						
	1									10)*	$-5\sqrt{2}/12$	1/2/12	$5\sqrt{6/36}$	$-\sqrt{3}$ 9	$-\sqrt{30}/12$	<i>l</i> √10,6
{ }	8 μ,	$2\sqrt{15/15}$	$-2\sqrt{15/15}$	$2\sqrt{15/15}$		_				272	V $\overline{1}0/8$	-1/10'8	8/99/8	0	8.91	$V^{2/4}$
	272	1/2/2	$V^{2/2}$	00		35* \ \ \ \ \ \ \ \ \ \ \ \ \ \ \ \ \ \ \	$-Var{6}/3$	1.3/3		271	-5V42,56	$-3\sqrt{42}/56$	$5\sqrt{17}$ 56	7/2/1	$1^{\tilde{7}0/56}$	—) ² 21 <u>0</u> /28
Y_{-} 0, I_{-} 0	271	$\sqrt{210}$ 70	-1/210,70	-47/210.70 $-47/7\overline{0}$ 70	$Y = -1, I = \frac{5}{2}$	Y_2 64	0 1/33	-1 1 1 6,3	$V = -1, I = \frac{3}{2}$	35	$\sqrt{5}$ /6	3/6	$V\overline{15}/9$	1 30/18	-1/33	-1/3
	9,9	$2\sqrt{2\overline{1},21}$	$ -21^{7}\overline{1}/21$	$\begin{vmatrix} -1 & 21 & 21 \\ 21 & 7 & 7 \end{vmatrix}$	1	Y_1 ; I_2 ,	-1; 1,	$0; \frac{3}{2},$		35*	1/12	5/12	$-7\sqrt{3/36}$	$5\sqrt{6}$ 18	$-1/\overline{15}$ /21	1/5/6
	Y_1 ; I_2 , Y_2	1; 1, -1	$-1; \frac{1}{2}, 1$	0; 1, 0 0; 0, 0		I_1 ,	2,1	— —	1		$-V^{-7/21}$	$5\sqrt{7}$ /21	1, 31/63	5V 12 63	V105/21	$\sqrt{35/24}$
	I_1	2,		1, 0,						2 Y2	 	0 ,	- 1-			., -2
										Y_1 ; I	-1;	-1;	0;	.0;	·0 ·0	1; 1
										I_1	- -∫≈	- ∠1	1,	1,	· · ·	ر ج ا ت ب

Продолжение табл. IV

	μ _γ								μ _γ				μ" μ"	- -		n	
	8	$-2\sqrt{5}$ 15	1,515	$2\sqrt{6}/9$	$-V$ $\overline{30}$ /45	$-V^{-30/15}$	273		10	-1/66	V 30/6	$3, I-\frac{3}{2}$	I_2 , Y_2 64	1, -2 1	$Y = -3, I = \frac{1}{2}$	I_2 , $Y_2 = 35$	1 - 2 - 1
	10	-1/3	-1/3	V $\overline{30}$ $/9$	71 6 36	1 6/12	$-V\bar{5}/6$	2, I-0	35	$V\overline{30/6}$	9/9/	Y	$I_{\rm t}$, $Y_{\rm t}$;	13 , -1;		I_1 , Y_1 ;	
	272	1/2	-1/2	0	$V^{ec{6},8}$	$V^{ar{6}/8}$	$V^{5/4}$	Y	I_2 , Y_2	1 2, -1	1, -2	i I	μ,				
2		5 70	5,70	2/			/28		I_1 , Y_1 ;	$\frac{1}{2}$, —1;	1, 0;		272	9.9Λ	$-V$ $\overline{30}/12$	1.2	V 0/4
; ;	271	$-3\sqrt{10570}$	$-V$ $\overline{105}$,70	$-\sqrt{14}/7$	$-19\sqrt{70}/280$	$-13\sqrt{70}/280$	$\sqrt{24/28}$		μγ	49-			271	$-V^{70,14}$	$-V$ $\overline{14}$ /28	$\sqrt{105/14}$	97/01/4
	35	V^{10} 6	$\sqrt{10}/6$	$V^{\overline{3}/9}$	$5\sqrt{15/36}$	$-\sqrt{15}/12$	$-Var{2}/12$		35*	$-V^{\overline{3}/3}$	1/6/3	Y = -2, I = 1	35	2 3	$\sqrt{5}$ '6	1/6/6	-1/2
	7,9	V 35/21	$2\sqrt{35/21}$	-V 42/63	$1^7 \overline{210}$ '63	1 210/21	2^{1} $\overline{7}/21$	-2, $I-2$	64	$V^{\overline{6}/3}$	1/3/3	\ \ \ \ \ \ \ \ \ \ \ \ \ \ \ \ \ \ \	6.4	$-V_{\overline{14}/21}$	$2\sqrt{70/24}$	$V \overline{z1/21}$	V 14/7
	Y 2	0	0	7	7	1	2	Y -	Y_2	1	2		Y2		-1		
	I_2 ,	1,	0,	က [လ	<u>~</u> [2/	← [2/	1,		I_2 ,	w w	ı - ,		I_2 ,	ا دان ا	ı ← [:	ı - -	1,
	$\overline{Y}_{1};$	1;	-1;	0;	0;	0;	1;		Y_1 ;	-1;	0;		Y_1 ;	1. ;	1;	:	; 0
	I_1	- [2]	<u>-1</u>	+	1,	0,	- ∫2/		I_1	-15	1 1		I_1	 : 	√ — [c	₁ (;	Ċ,

Пзосказярные факторы для
$$\{10\} \otimes \{10\}$$
 В таблице приведены изоскалярные факторы $\begin{pmatrix} 10 & 10 & |\mu_{\nu}| \end{pmatrix}$

 $\begin{pmatrix} 10 & 10 & |\mu_{\gamma}| \\ I_{1}Y_{1} & I_{2}Y_{2} & |IY| \end{pmatrix}$

для КГ-ряда $\{10\} \otimes \{10\} = \{35\} \ominus \{28\} \oplus \{27\} \cap \{10^*\}.$

Y =2, I=3

Y	==	0.	I	_	1

11,) ₁ ,	I ₂	У ₂	28	_ μ _γ
$\frac{3}{2}$,	1,	$\frac{3}{2}$,	1	1	

$$Y = 2, I = 2$$

\ \	Ι,	Y_1 ;	I_2 ,	Y_2	35	μγ
}-	$\frac{3}{2}$,	1;	3, 2	1		

$$Y = 2, I = 1$$

I_1 ,	Y ₁ ,	I_2 ,	Y_2	27	μγ
$\frac{3}{2}$,	1;	$\frac{3}{2}$,	1	1	

$\begin{bmatrix} I_1, \\ - \end{bmatrix}$	Y_1 ;	$\overline{I_2}$,	\overline{Y}_{2}	35	27	1()*	μ_{γ}
$\frac{3}{2}$	1,	1,	-1	-V6/6	$-V^{2/2}$	$-\sqrt{3},3$	
				$-\sqrt{6} \ 6$ $-\sqrt{6}/3$	$V^{ar{2}}$, 2	<i>-</i> √3/3	
1,	0;	1;	0	$-V\bar{6}/3$	0	$V\bar{3}/3$	

$$Y = -1, I = \frac{3}{2}$$

					_			
I_1	Y ₁ ;	I_2 ,	Y_2	28	35	27	10*	μη,
$\frac{1}{1} \frac{3}{2}$,	1;	0,	2	V 5 10	1 2	$3\sqrt{5}$ 10	1 2	l
0,	 2,	$\frac{3}{2}$,	1	$\sqrt{5}$, 10	-1/2	$3\sqrt{5}$ 10	-1,2	
1,	0;	$\frac{1}{2}$,	-1	3 √ 5 10	1 2	$-\sqrt{5}$, 10	-1 2	
$\frac{1}{2}$,	-1;	1,	0	3 / 5/10	-1 2	-3 ⁵ /10	1 2	

>	
6 1.	
T a	
нпе	
жен	
п о	
род	
=	
	1

$Y1, \ I=\frac{1}{2}$	$Y_1; I_2, Y_2 = 35$	$0, \frac{1}{2}, -1$	$-1;$ 1, 0 $-\sqrt{2}/2$ $\sqrt{2}/2$	Y2, I=1	I_2 , Y_2 28 35 27 $\mu_{\rm V}$	$\begin{array}{c ccccccccccccccccccccccccccccccccccc$	
	I_1 ,		-[2]	٨.	$$ I_1 , Y_1 ;	2, 0, 1, 2, 4, 7, 7, 7, 7, 7, 7, 7, 7, 7, 7, 7, 7, 7,	
Y=2, I=0	$I_1, Y_1; I_2, Y_2$ 10^* μ_1	3, 1, 3, 1 —1	$Y=1, I-\frac{5}{2}$	$I_1, V_1; I_2 V_2 \boxed{} = \begin{bmatrix} -1 & -1 & -1 & -1 & -1 & -1 & -1 & -1$		$\frac{3}{2}$, 1; 1, 0 $\sqrt{2/2}$ $\sqrt{2}$ 2 $\sqrt{2}$ 1, 2 $\sqrt{2}$ 1, 0; $\frac{3}{2}$, 1 $\sqrt{2}$ /2 $-\sqrt{2}$ /2	$Y-1, I=\frac{3}{2}$

}	η,	
0==	35	7
1, 1	Y_2	7
,	I_2 ,	2),1
	Y_1 ;	<u> </u>
	I_1 ,	<u>-</u> [8

27	1/2/2
35	$-V\overline{2}/2$ $-V 2/2$
Y ₂	0 -
I_2 ,	7,3 7,
$Y_1;$	1; 0,
$oxed{ I_1, I_1, I_2, I_2, I_3, I_4, I_4, I_4, I_5}$	7, 2, 3

Продолжение табл. V

	μ	
	35	1 2/2
$Y = -3, I = \frac{1}{2}$	788	V 2/2
Y =	Y_2	31 1
	I_2 , Y_2	0;
	$I_1, Y_1;$	1;
	I_1 ,	4[51 0

μ'n	
78	1
Y_2	-2
I_2 ,	0,
Y_1 ;	-2;
J_1 ,	0,
	I_2 , Y_2 28

	μ,	
	10*	7 7 7 7 7 7 7 7 7 7 7 7 7 7 7 7 7 7 7 7
$Y=1,\ I=rac{1}{2}$	27	V 2/2
7	Y .	0 4
	I_2 ,	, w (c
	Y_1 ;	0; 1;
	I_1 ,	27 4

	μγ	
	72	1 30/10 1 30/10 -1 10,5
I-2	35	$V_{2/2} = V_{2/2} = V_{2/2} = 0$
Y=0, I=2	- 87	$V = \frac{7}{5}$
	1,2	7 - 0
	I_2 ,	မ[တယ[တ <u>မ</u> ၂
	Υ ₁ ;	÷ ; ;
	1,1,	& [V ← [V ←

Изосталярные факторы для $\{10\} \otimes \{10^*\}$. В таблице приведены изоскалярные факторы для $\begin{pmatrix} 10 & 10^* & \mu_{\gamma} \\ I_1Y_1 & I_2Y_2 & IY \end{pmatrix}$ для КГ-ряда $\{10\} \otimes \{10^*\} = \{64\} \cap \{27\} \oplus \{8\} \oplus \{1\}$.

 $Y = 1, I = \frac{5}{2}$

$\frac{27}{8}$ 8 μ_{γ}
147 1/63
$ \begin{array}{cccccccccccccccccccccccccccccccccccc$
§ 35

				Y = 0,	I = 0		
I_1 ,	Y_1 ;	I_2 ,	\overline{Y}_2	64	27	8	1 μ _γ
3,	1;	$\frac{3}{3}$,	——————————————————————————————————————	35/35	√ 2 10 33	5	$\overline{5}$ $\overline{10}$ $\overline{5}$
$\frac{2}{1}$	0;	2 1,	0	2 1/ 105/35	v^{2} 70 14	0	$5 \qquad \downarrow \overline{10} 5$ $-\sqrt{30}/10$
$\frac{1}{2}$,	-1;	$\frac{1}{2}$,	1	$3\sqrt{70/35}$	 J $\sqrt{105/3}$	$ 5- \sqrt{5} $	5 1 / 5/5
0,	— 2;	ō,	2	$2\sqrt{35}/35$	$-3\sqrt{2}10$	$70 \sqrt{10}$	5 - V 10 '10

$$Y = -1; \quad I = \frac{5}{2}$$

$$\begin{bmatrix} I_1, & Y_1; & I_2, & Y_2 & 64 & \mu_{\gamma} \\ 1, & 0; & \frac{3}{2}, & -1 & 1 & \\ & & & & & \\ & & & & & \\ & & & & & \\ & & & & & \\ & & & & & \\ & & & & & \\ & & & & & \\ & & & & & \\ & & & & & \\ & & & & & \\ & & & & & \\ & & & & & \\ & & & & & \\ & & & & \\ & & & & \\ & & & & \\ & & & & \\ & & & & \\ & & & & \\ & & & & \\ & & & & \\ & & & & \\ & & & & \\ & & & & \\ & & \\ & & & \\ & & & \\ & & \\ & & & \\ & & \\ & & & \\ & &$$

I_1	Y_1 ;	I_2 ,	Y_2	64	27	μ_{γ}
1,	0;	$\frac{3}{2}$,	-1	1/14/7	$\sqrt{35}$ 7	
$\frac{1}{2}$	-1;	1,	0	√ 35 /7	-V14,7	

Продолжение табл. VI

I_1 , Y_1 ; I_2 ,	X_2	6,4	27	8	- h
ස <u>'</u> 21	1	1/7/7	$4\sqrt{35}/35$	$\sqrt{10/5}$	
,	0	21/ 7/7	$\sqrt{35/35}$	$-\sqrt{10/5}$	
- ∫2/	1	1/14/7	$-3\sqrt{70}/35$	$\sqrt{5}$ 5	

				μу				
	μ		_i	27	2V7/7 -V21/7		μ,	
21	67	1	_		51	m M	6,4	-
-2, I=2	۲ 20		-2, I=1	64	$1^{21/7}$ $2\sqrt{7}$ 7	-3, I	Y_2	- -
$Y_{==}$	I_2 ,	w [51	$Y = \frac{1}{2}$	Y_2	0	Y = -	12,	e c1
	Y_1 ;	-1;		<i>l</i> ₂ ,	w 'c1 4,	}	Y_1 ;	2;
	J_1 ,	← [5]		$Y_1;$	1 :: 1		I_1 ,	0,
	' ==		-1	I_1 ,	o, ¹ , 2,			'
				_		,t		

	! ;			μγ	r l							1 1	
	μ,	1,	7	· ∞	1 10/5	-V 10/5	$\sqrt{5}/5$		m A	{		μ,	
	27	$V^{35/7} - V^{44/7}$		27	$4\sqrt{35/35}$	$V^{35/35}$ -	$3\sqrt{70}$ '35		64		[27	$\sqrt{42/7}$
1, $I = \frac{3}{2}$	64	V 147	$I_{1}, I_{-\frac{1}{2}}$	64	7/7 4	21 7/7	$\sqrt{14/7} - 3$	Y=0, I=3	Y_2	1), I_2	- 6/4	2/2/
Y-1,	72	0 -	$Y = \hat{y}$	- 2		<u>5</u> 1		Y =	12,	20 [24	Y=0,	\\ \\ \ \ \ \ \ \ \ \ \ \ \ \ \ \ \ \	7
	I_2 ,	<u> </u>		I_2 , Y_2	0	[≈ 	0, 2		$Y_1;$	· ;		12,	თ
	Y ₁ ;	;;		Y_1 ; I_1		.; .,	• •		I_1 ,	က ည်း၊		7;	::
	1,1	10 m		I_1 , Y	w [51	1, 0	2 1 -1					1,1	~ [

ЦПТИРОВАННАЯ ЛИТЕРАТУРА

- 1. R. E. Behrends, J. Dreitlein, C. Fronsdal, and B. W. Lee, Rev. Mod. Phys. 34, 1 (1962). 2. D. R. Speiser and J. Tarski, Math. Phys. 4, 588 (1963).
- 3. М. Гелл-Манн, в сб. «Элементарные частицы и компенсирующие поля», М., Пзд-во «Мпр», 1964, стр. 117. 4. Y. Ne'e m a n. Nucl. Phys. **26**, 222 (1961) (см. перевод в ³, стр. 176).
- G. Alexander, G.R. Kalbfleisch, D. H. Miller and G. A. Smith, Phys. Rev. Letts. 8, 447 (1962).
 Proceedings of the 1962 Annual International Conference on High-Energy Physics
- at CERN (CERN, Geneva, 1962).
- M. Gell-Mann, cm. 6, ctp. 805.
 G. M. Pjerrou, D. J. Prowse, P. Schlein, W. E. Slater, D. H. Stork and H. K. Ticho, cm. 6, ctp. 289.
 L. Bertanza, W. Brisson, P. L. Conolly, E. L. Hart, I. S. Mit-
- tra, G. C. Moneti, R. R. Rau, N. P. Samios, S. S. Yamamoto, M. Goldberg, L. Gray, J. Leitner, S. Lichtman and J. Westg a r d, cm. 6, crp. 279. 10. S. O k u b o, Progr. Theoret. Phys. (Kyoto) 27, 949 (1962). 11. S. C o l c m a n and S. L. G l a s h o w, Phys. Rev. Letts. 6, 423 (1961).

- 12. A. B. Edmonds, Proc. Roy. Soc. (London) A268, 567 (1962).
- 13. M. A. Rashid, Nuovo cimento 26, 118 (1962).
- 14. С. Ескагі. Rev. Mod. Phys. 2, 302 (1930); Е. Вигнер, Теория групп,
- M., H.I., 1961.

 15. D. R. Speiser, Proceedings of the Istanbul International Summer School, 1962.

 16. R. H. Dalitz, Lectures, University of Chicago, 1962.

- 17. Л. С. Поитрягин, Пепрерывные группы, М., Гостехиздат, 1954. 18. С. А. Levinson, П. J. Lipkin and S. Meshkov, Phys. Letts. 1, 44, 125
- and 307 (1962); Nuovo cimento 23, 236 (1962); Phys. Rev. Letts. 10, 361 (1962). 19. A. J. Macfarlane. E. C. G. Sudarshan and C. Dullemond, Nuovo cimento 30, 845 (1963).
- 20. H. B. G. Casimir, Proc. Roy. Acad. Amsterdam 34, 843 (1931).
 21. M. Hameimesh, Group Theory and its Application to Physical Problems, Addison Wesley Publishing Company, New York, 1962, Sec. 8—13.
 22. I. Schur, Sitzber. Preuss. Acad. Wiss. Phys. Math. Kl. 24, 406 (1905).
- 23. G. R a c a h, Group Theory and Spectroscopy, Institute for Advanced Study, Princeton, New Jersey, 1951.
- 24. Е. Коплон и Г. Шортли, Теория атомных спектров. М., 11.1, 1949. 25. L. C. Biedenharn, Phys. Letts. 3, 69, 254 (1962); J. Math. Phys. 4, 436 (1963); см. также: G. E. Baird and L. C. Biedenharn, J. Math. Phys. 4, 1449 (1963).
- 26. M. E. Rose, Theory of Angular Momentum, John Wiley, New York, 1957.
- 27. M. A. Rashid and I. I. Yamanaka, Phys. Rev. 131, 2797 (1963). 28. W. H. Barkas and A. H. Rosenfeld, University of California, Berkeley, 1960, UCRL-8050.
- 29. L. Bertanza, W. Brisson, P. L. Conolly, E. L. Hart, I. S. Mittra. G. C. Moneti. R. R. Rau, N. P. Samios, I. O. Skillicorn, S. S. Yamamoto. M. Goldberg, L. Gray, J. Leitner, S. Lichtm an and J. Westgard, Proceedings of the 1962 Annual International Conference on High-Energy Physics at CERN (CERN, Geneva, 1962), crp. 437.

 30. D. H. Stork, Bull. Amer. Phys. Soc. 8, 46 (1963).

- 31. B. P. Gregory, cm. 6, crp. 779.
 32. J. J. Sakurai, Phys. Rev. Letts. 9, 472 (1962).
 33. P. Schlein, W. E. Slater, L. T. Smith, D. H. Stork and H. K. Ticho, Phys. Rev. Letts. 10, 368 (1963); P. L. Gonnolly, E. L. Hart, K. W. Lai, G. London, G. C. Moneti, R. R. Rau, N. P. Samios, I. O. Skillicorn, S. S. Yamamoto, M. Goldberg, M. Gundzik, J. Leitner and Lichtman, Phys. Rev. Letts. 10, 371 (1963).
- 34. T. Spearman, Nucl. Phys. 16. 402 (1960); G. Salzman and H. Schnitzer, Phys. Rev. 113, 1153 (1959).
 35. J. J. de Swart and C. K. Iddings, Phys. Rev. 130, 319 (1963).
 36. A. W. Martin and K. C. Wali, Phys. Rev. 130, 2455 (1963).

- 37. J. J. Sakurai, Ann. Phys. (N. Y.) 11, 1 (1960).